

# MPIによる並列アプリケーション 開発法入門(I)

2011年5月19日・20日

中島研吾

東京大学情報基盤センター

T2Kオーpensパソコン(東大)並列プログラミング講習会

# 本講習の目的

- 1CPU用シリアルアプリケーションの並列化(Flat MPI)
  - 並列分散データ構造の重要性
- 並列アプリケーションを使用したシミュレーションの手順を一通り体験する
  - データ生成(初期データ, 領域分割)
  - 計算
  - ポスト処理
- 対象
  - 有限体積法(または直接差分法)による熱伝導解析コード
  - 共役勾配法(CG法)による連立一次方程式求解

# 中島研吾の紹介

- 所属
  - 東京大学情報基盤センター
  - スーパーコンピューティング研究部門
    - 大学院情報理工学系研究科数理情報学専攻(兼任)
- 専門分野
  - 計算力学, (並列)数値線形代数
  - 並列計算プログラミングモデル, (並列)適応格子
- これまで関わったプロジェクト
  - GeoFEM: 地球シミュレータ関連, 並列有限要素法
  - HPC-MW: 戦略的基盤ソフトウェア
  - ppOpen-HPC: 自動チューニング機構を有するアプリケーション開発・実行環境(FY.2011~)
- お気軽に質問ください
  - [nakajima\(at\)cc.u-tokyo.ac.jp](mailto:nakajima(at)cc.u-tokyo.ac.jp)

# スケジュール (予定)

- 5月19日(木):1000~1200
  - T2Kオープンスパコン(東大)へのログイン
- 5月19日(木):1300~1730
  - 並列アプリケーション開発入門(I)
    - 並列プログラミングの学び方
    - 有限体積法
    - 1CPU用計算プログラム **eps\_fvm**
  - 並列アプリケーション開発入門(II)
    - MPI超入門
    - 並列分散メッシュデータ
- 5月20日(金):0930~1200
  - 並列アプリケーション開発入門(II)(続き)
    - 並列分散メッシュデータ(続き)
    - 領域分割
- 5月20日(金):1300~1700
  - 並列アプリケーション開発入門(III)
    - 並列FVMコードの開発
  - 実習

# 謝 辞

- サイバネットシステム株式会社

# 準備 (Windows)

- T2Kへのログイン
- WinSCP等インストール
- MicroAVSインストール

# 注意等

- 講義室内では飲食厳禁です。今後のこともありますのでご理解、ご協力のほどをお願いいたします。
  - 自動販売機は工学部12号館前，武田先端知ビル内。
- アンケートにご協力ください。



- 背景：並列プログラミングの学び方
- 有限体積法の概要
- 1CPU用プログラム **eps\_fvm**
  - メッシュ生成, 形状データ
  - 計算実行例
  - プログラムの内容



# 背 景

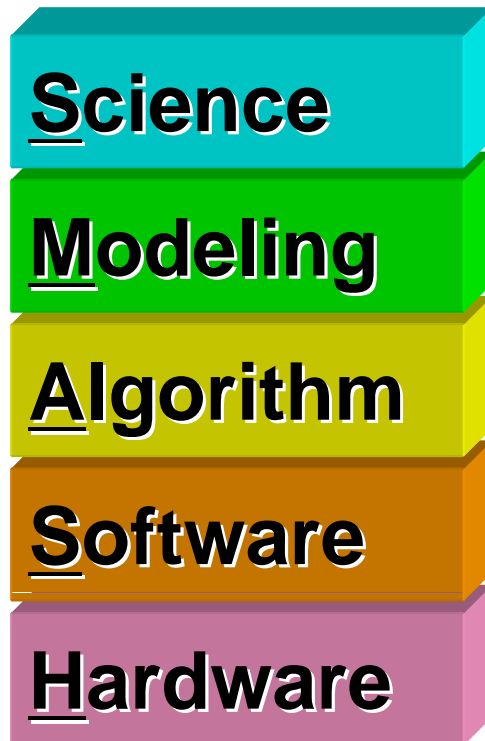
- 「T2Kオープンスパコン」, 「次世代スーパーコンピュータ」等の開発を背景に, 大規模並列シミュレーションへの期待は, 産学において一層高まっている。
- 並列計算機を使いこなすためには, 「並列プログラミング」の習得が必須である。
  - 並列計算機を使いこなす, アプリケーション分野の研究者, 技術者の育成

# 4S型人材育成戦略

「4つのS」: System, Stage, Status, Style (1/2)

- **System**

- SMASH
- 科学技術計算の真髄

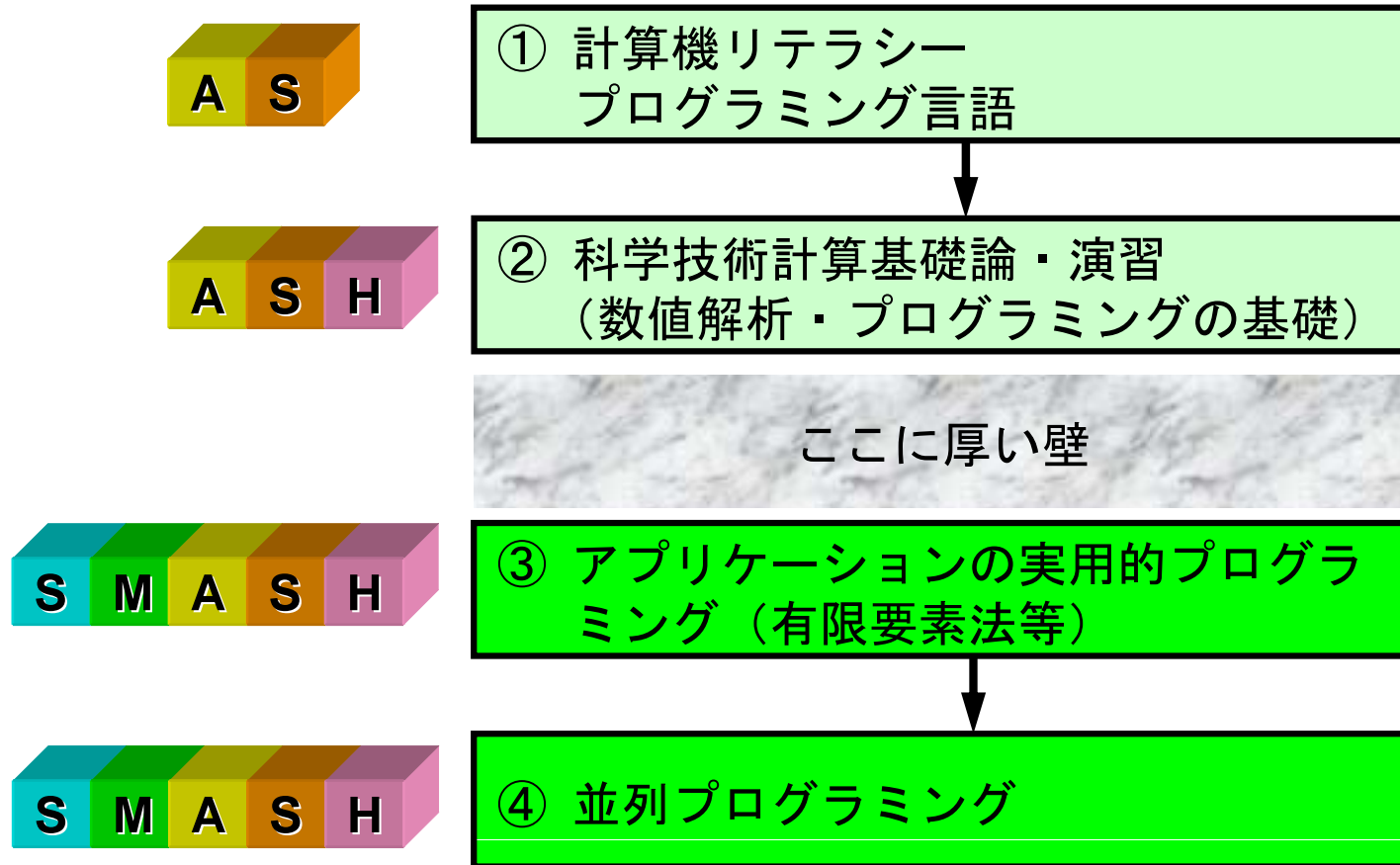


- **Stage: 4つの段階**

- 並列プログラミングへの道
- ③が最も重要, かつ教育困難
  - 現状はアルゴリズム中心(連続体力学)



# 並列プログラミングへの道



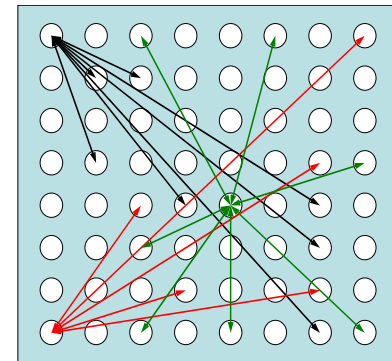
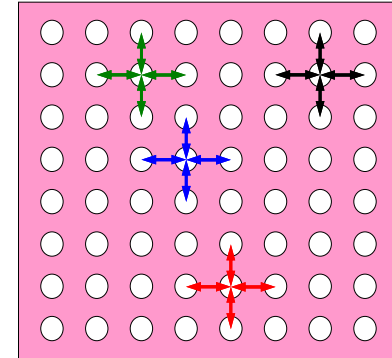
- ③が重要であるが、プログラミング教育はほとんど実施されていない

### ③(実用プログラミング)を学ぶには？

- プログラミング能力をつけるためには、徹底して実アプリケーションコードのソースを「読む」能力をつけることが重要(特に学部4年～大学院初級)
  - 英語, 漢文の音読のごとく
- 並列計算で大事なものはMPI等の文法ではなく、並列データ構造等の設計。対象アプリケーション, アルゴリズムに対する深い理解が必要⇒③が重要
- これまでの経験で効果は確認済

# 科学技術アプリケーション

- 局所的手法
  - 差分法, 有限要素法, 有限体積法
  - 疎行列
- 大域的手法
  - 境界要素法, スペクトル法等
  - 密行列



# 本講習の方針

- まずは1CPU用のシリアルアプリケーションコードを徹底理解
  - アルゴリズムのやさしい有限体積法を選択
  - 熱伝導方程式
- アプリケーションに適した並列計算のためのデータ構造(=局所分散データ構造)を考える
- 慣れているFORTRANで解説していますが, C言語版のアプリケーションも準備, ほとんど各行解説するので, 余り支障は無いでしょう
- MPIそのものについてはあまり詳しく説明しません。MPI入門向け講習会は年2~3回程度実施されています。

- 背景：並列プログラミングの学び方
- 有限体積法の概要
- 1CPU用プログラム `eps_fvm`
  - メッシュ生成, 形状データ
  - 計算実行例
  - プログラムの内容

# 対象とするアプリケーションの概要

- 支配方程式: 三次元定常熱伝導方程式
  - 物性の温度依存性無し, 等方性

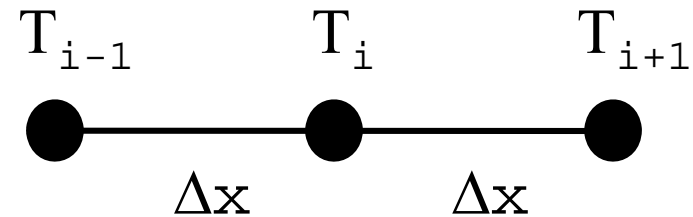
$$\frac{\partial}{\partial x} \left( \lambda \frac{\partial T}{\partial x} \right) + \frac{\partial}{\partial y} \left( \lambda \frac{\partial T}{\partial y} \right) + \frac{\partial}{\partial z} \left( \lambda \frac{\partial T}{\partial z} \right) + Q = 0$$

- 有限体積法 (Finite Volume Method, **FVM**) による空間離散化
  - 任意形状の要素, 要素中心で変数を定義。
  - 直接差分法 (Direct Finite Difference Method) とも呼ばれる。
- 境界条件
  - ディリクレ (温度固定), ノイマン (境界熱流束), 体積発熱
- 反復法による連立一次方程式解法
  - 共役勾配法 (CG) + 対角スケーリング (点ヤコビ) 前処理



# 一次元熱伝導方程式：中央差分 熱伝導率 $\lambda$ 一定

$$\frac{d}{dx} \left( \lambda \frac{dT}{dx} \right)_i + Q = 0$$



$$\begin{aligned} \frac{d}{dx} \left( \lambda \frac{dT}{dx} \right)_i &= \frac{\left( \lambda \frac{dT}{dx} \right)_{i+1/2} - \left( \lambda \frac{dT}{dx} \right)_{i-1/2}}{\Delta x} = \frac{\lambda \frac{T_{i+1} - T_i}{\Delta x} - \lambda \frac{T_i - T_{i-1}}{\Delta x}}{\Delta x} \\ &= \lambda \left( \frac{T_{i+1} - 2T_i + T_{i-1}}{\Delta x^2} \right) \end{aligned}$$

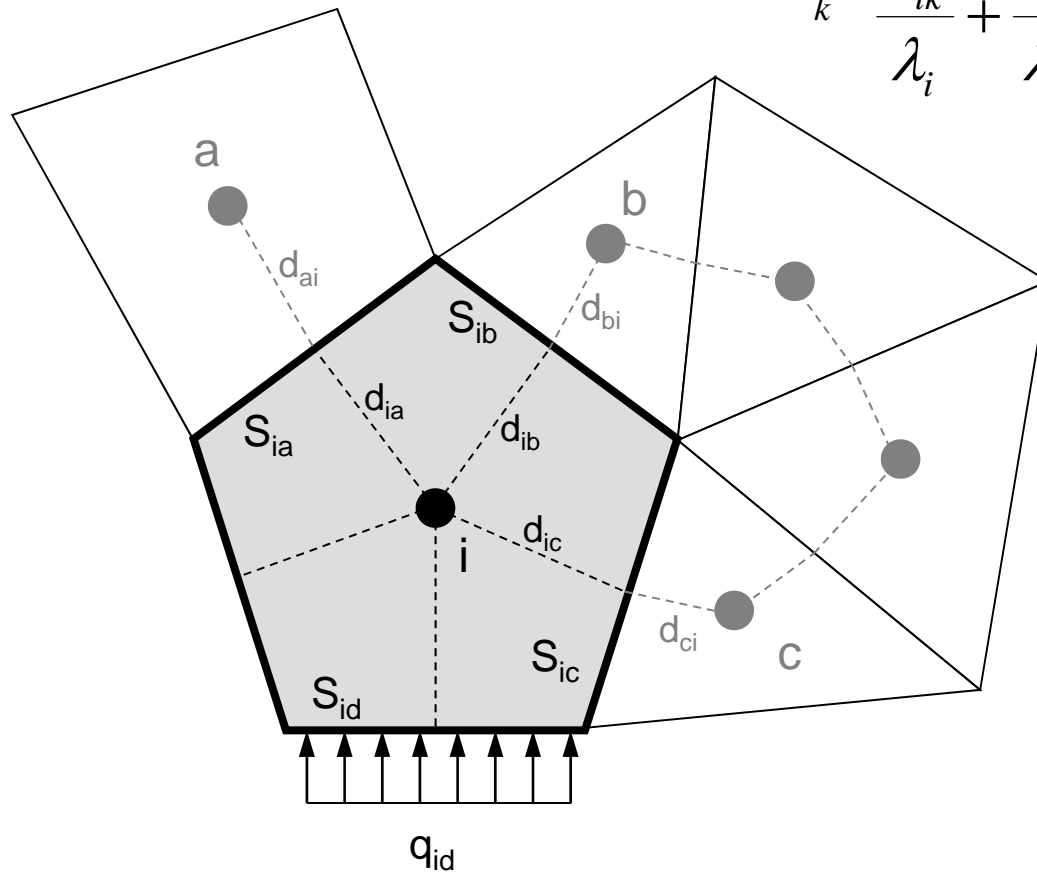
# 有限体積法による空間離散化

## 熱流束に関するつりあい式

隣接要素との熱伝導

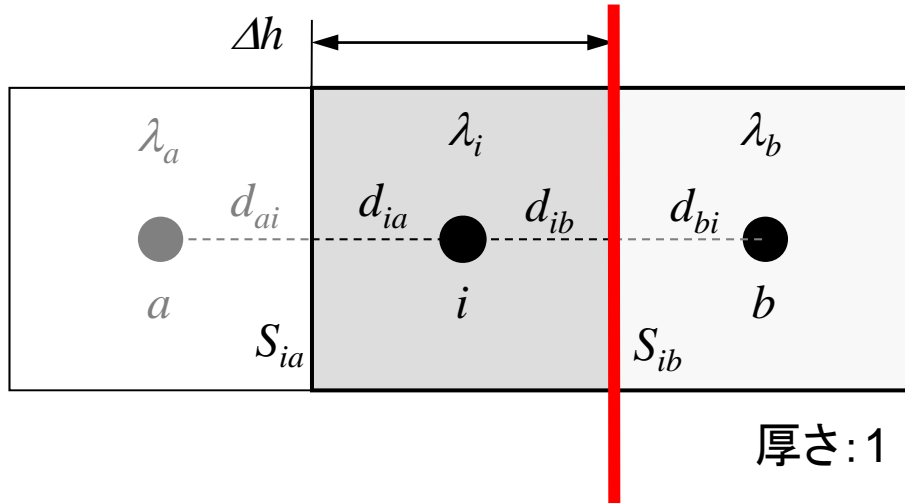
$$\sum_k \frac{S_{ik}}{\frac{d_{ik}}{\lambda_i} + \frac{d_{ki}}{\lambda_k}} (T_k - T_i) + \sum_d S_{id} \dot{q}_{id} + V_i \dot{Q}_i = 0$$

要素境界面 体積発熱  
通過熱流束



- $\lambda$  : 熱伝導率
- $V_i$  : 要素体積
- $S$  : 表面面積
- $d_{ij}$  : 要素中心から表面までの距離
- $q$  : 表面フラックス
- $Q$  : 体積発熱

# 一次元差分法との比較(1/3)



一辺の長さ $\Delta h$ の正方形メッシュ

接触面積:  $S_{ik} = \Delta h$

要素体積:  $V_i = \Delta h^2$

接触面までの距離:  $d_{ij} = \Delta h/2$

各メッシュの熱伝導率:  $\lambda_i$

この面を通過する熱量:  $Q_{S_{ib}}$

$$Q_{S_{ib}} = -\lambda \frac{T_b - T_i}{d_{ib} + d_{bi}} \cdot S_{ib} = -\frac{T_b - T_i}{\frac{d_{ib}}{\lambda} + \frac{d_{bi}}{\lambda}} \cdot S_{ib}$$

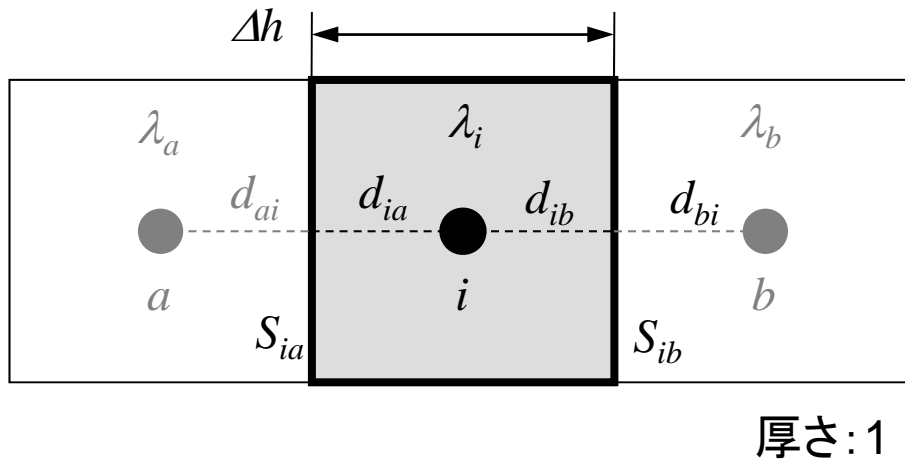
$$Q_{S_{ib}} = -\frac{T_b - T_i}{\frac{d_{ib}}{\lambda_i} + \frac{d_{bi}}{\lambda_b}} \cdot S_{ib}$$

熱伝導率が一様の場合  
フーリエの法則

面を通過する熱量  
= -(熱伝導率) × (温度勾配)

熱伝導率が要素ごとに  
異なる場合: 調和平均

# 一次元差分法との比較(2/3)



一辺の長さ $\Delta h$ の正方形メッシュ

接触面積:  $S_{ik} = \Delta h$

要素体積:  $V_i = \Delta h^2$

接触面までの距離:  $d_{ij} = \Delta h/2$

各メッシュの熱伝導率:  $\lambda_i$

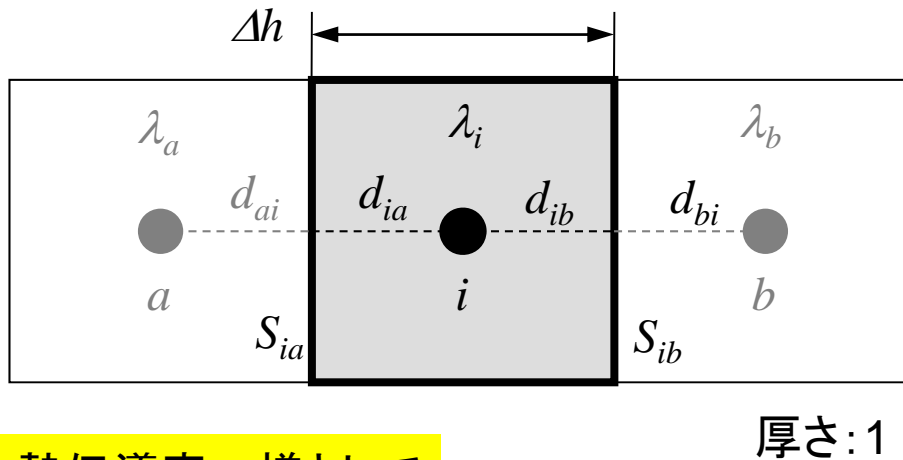
$$\sum_k \frac{S_{ik}}{\frac{d_{ik}}{\lambda_i} + \frac{d_{ki}}{\lambda_k}} (T_k - T_i) + \sum_d S_{id} \dot{q}_{id} + V_i \dot{Q}_i = 0$$

両辺を $V_i$ で割る:

$$\frac{1}{V_i} \sum_k \frac{S_{ik}}{\frac{d_{ik}}{\lambda_i} + \frac{d_{ki}}{\lambda_k}} (T_k - T_i) + \frac{1}{V_i} \sum_d S_{id} \dot{q}_{id} + \dot{Q}_i = 0$$

この部分に注目すると

# 一次元差分法との比較(3/3)



一辺の長さ $\Delta h$ の正方形メッシュ

接触面積:  $S_{ik} = \Delta h$

要素体積:  $V_i = \Delta h^2$

接触面までの距離:  $d_{ij} = \Delta h/2$

各メッシュの熱伝導率:  $\lambda_i$

熱伝導率一様として

$$\begin{aligned}
 \frac{1}{V_i} \sum_k \frac{S_{ik}}{\frac{d_{ik}}{\lambda_i} + \frac{d_{ki}}{\lambda_k}} (T_k - T_i) &= \frac{1}{(\Delta h)^2} \sum_{k=a,b} \frac{\Delta h}{\frac{\Delta h/2}{\lambda} + \frac{\Delta h/2}{\lambda}} (T_k - T_i) \\
 &= \frac{1}{(\Delta h)^2} \sum_{k=a,b} \frac{\Delta h}{\frac{\Delta h}{2\lambda} + \frac{\Delta h}{2\lambda}} (T_k - T_i) = \frac{1}{(\Delta h)^2} \sum_{k=a,b} \frac{\Delta h}{\frac{\Delta h}{\lambda}} (T_k - T_i) = \frac{1}{(\Delta h)^2} \sum_{k=a,b} \lambda (T_k - T_i) \\
 &= \lambda \cdot \left[ \frac{1}{(\Delta h)^2} (T_a - T_i) + \frac{1}{(\Delta h)^2} (T_b - T_i) \right] = \lambda \cdot \left[ \frac{T_a - 2T_i + T_b}{(\Delta h)^2} \right]
 \end{aligned}$$

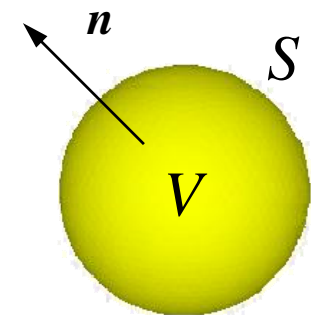
# 有限体積法

- セル中心型有限体積法
  - 「直接差分法」
  - ガウスグリーン型有限体積法
- 任意形状の要素を扱うことが可能
  - 均等メッシュでない場合は空間について一次精度
- 各要素の体積，要素間の接続関係（接触面積，重心（本当は「外心」）から接触面への距離）などを予め指定する必要があるため，メッシュ作成は多少面倒
- 境界面，ディリクレ境界条件（温度固定）の扱いが問題

# ガウスの定理: Gauss's Theorem

$$\int_V \left( \frac{\partial U}{\partial x} + \frac{\partial V}{\partial y} + \frac{\partial W}{\partial z} \right) dV = \int_S (Un_x + Vn_y + Wn_z) dS$$

- 三次元デカルト座標  $(x, y, z)$
- 滑らかな閉曲面  $S$  によって囲まれた  $V$
- $V$  内で定義される, 3つの連続関数
  - $U(x, y, z), V(x, y, z), W(x, y, z)$
- 曲面  $S$  上で外向きに引いた法線ベクトル  $n$ 
  - $n_x, n_y, n_z$ : 方向余弦



# ベクトル表記すると

- ガウスの定理

$$\int_V \nabla \cdot \mathbf{w} \, dV = \int_S \mathbf{w}^T \mathbf{n} \, dS$$

- グリーンの定理

$$\int_V v \Delta u \, dV = \int_S (v \nabla u)^T \mathbf{n} \, dS - \int_V (\nabla^T v)(\nabla u) \, dV$$



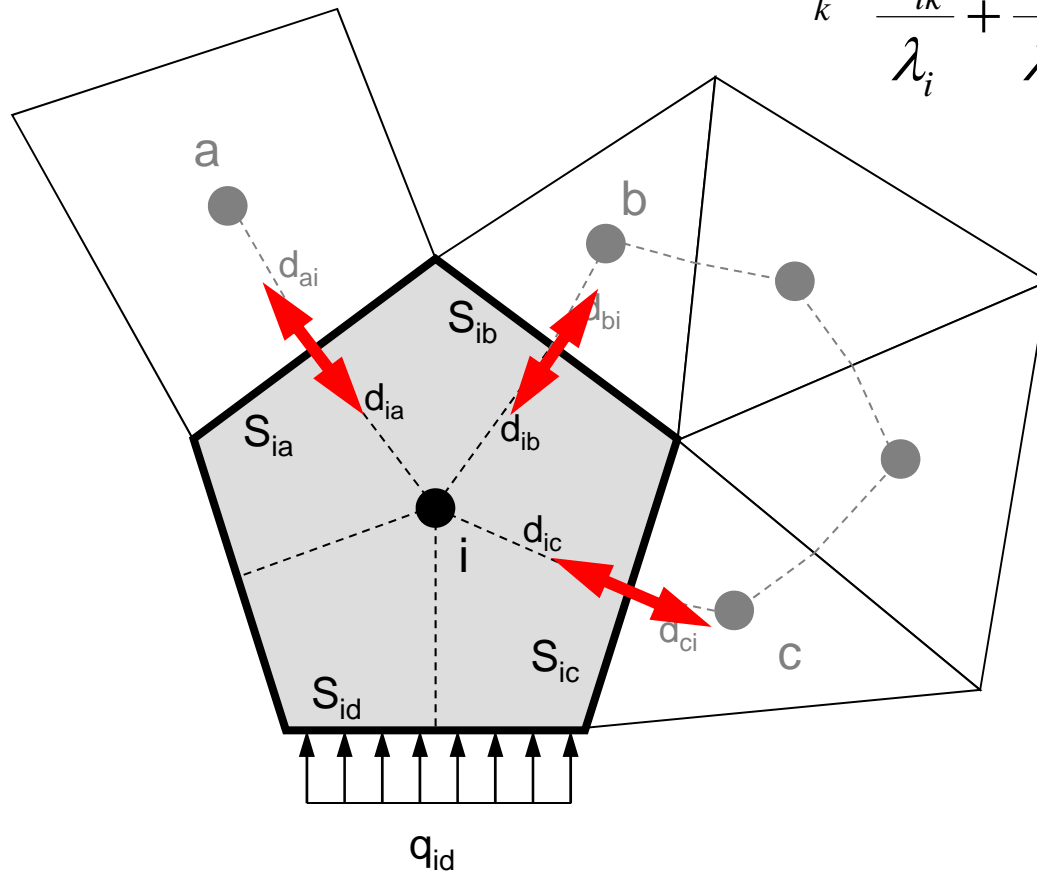
# 有限体積法による空間離散化

## 各要素の境界面を通過する熱量に着目

隣接要素との熱伝導

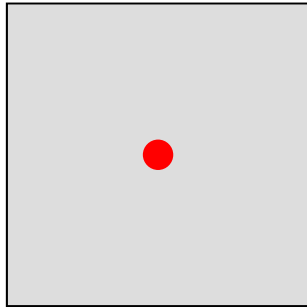
$$\sum_k \frac{S_{ik}}{\frac{d_{ik}}{\lambda_i} + \frac{d_{ki}}{\lambda_k}} (T_k - T_i) + \sum_d S_{id} \dot{q}_{id} + V_i \dot{Q}_i = 0$$

要素境界面 体積発熱  
通過熱流束

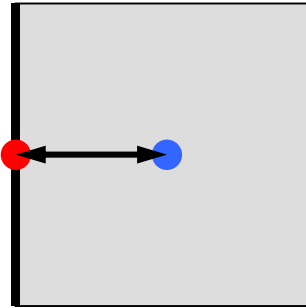


- $\lambda$  : 熱伝導率
- $V_i$  : 要素体積
- $S$  : 表面面積
- $d_{ij}$  : 要素中心から表面までの距離
- $q$  : 表面フラックス
- $Q$  : 体積発熱

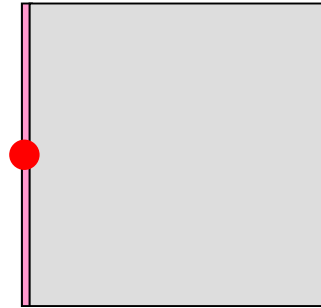
# ディリクレ境界条件（境界温度固定）



単純に要素中心で指定  
（精度悪化）

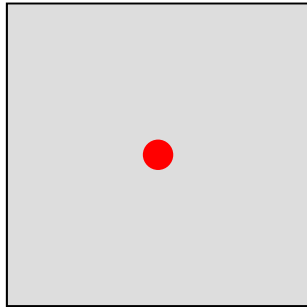


境界面からの等価な  
フラックスを加算  
（面積, 重心との距離必要）

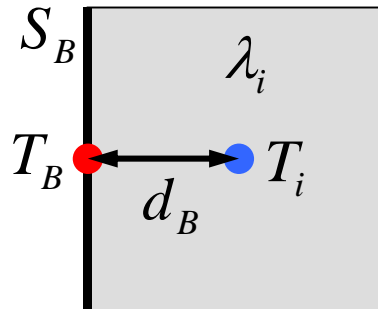


「薄い」要素を設定  
（ $\sim 10^{-20}$ ）

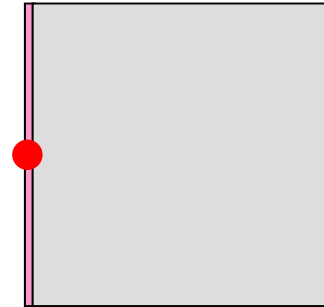
# ディリクレ境界条件（境界温度固定）



単純に要素中心で指定  
(精度悪化)



境界面からの等価な  
フラックスを加算  
(面積, 重心との距離必要)



「薄い」要素を設定  
( $\sim 10^{-20}$ )

現在はこの方式を使用

$$q = \frac{S_B}{d_B / \lambda_i} (T_B - T_i)$$

# 有限体積法による空間離散化

## 熱流束に関するつりあい式: ディリクレ境界条件考慮

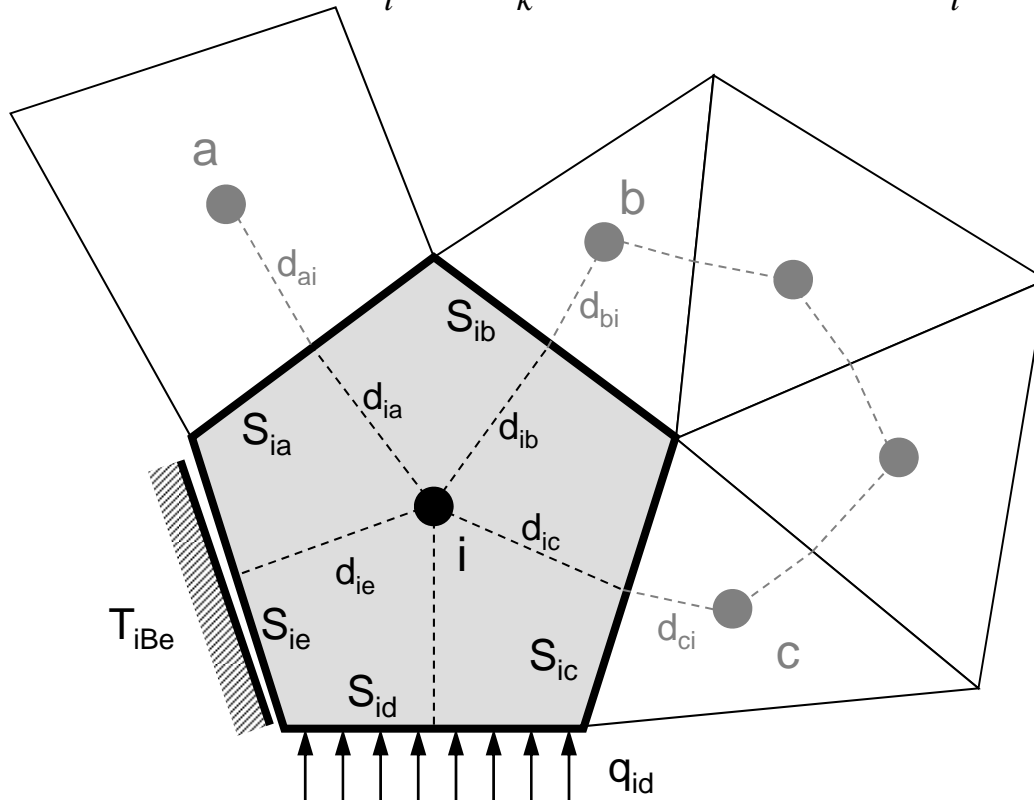
隣接要素との熱伝導

温度固定境界

$$\sum_k \frac{S_{ik}}{\frac{d_{ik}}{\lambda_i} + \frac{d_{ki}}{\lambda_k}} (T_k - T_i) + \sum_e \frac{S_{ie}}{\frac{d_{ie}}{\lambda_i}} (T_{iBe} - T_i) + \sum_d S_{id} \dot{q}_{id} + V_i \dot{Q}_i = 0$$

要素境界面  
通過熱流束

体積発熱



- $\lambda$  : 熱伝導率
- $V_i$  : 要素体積
- $S$  : 表面面積
- $d_{ij}$  : 要素中心から表面までの距離
- $q$  : 表面フラックス
- $Q$  : 体積発熱
- $T_{iB}$  : 境界温度

# 有限体積法による空間離散化

隣接している要素の影響のみ受ける

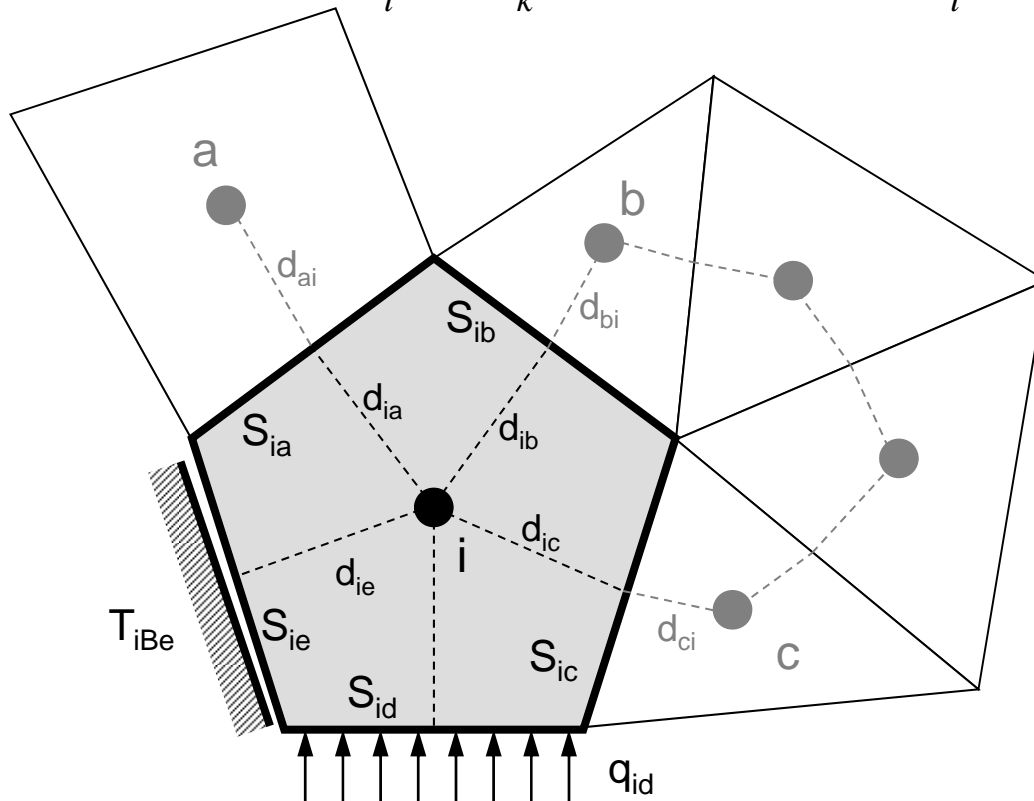
隣接要素との熱伝導

温度固定境界

$$\sum_k \frac{S_{ik}}{\frac{d_{ik}}{\lambda_i} + \frac{d_{ki}}{\lambda_k}} (T_k - T_i) + \sum_e \frac{S_{ie}}{\frac{d_{ie}}{\lambda_i}} (T_{iBe} - T_i) + \sum_d S_{id} \dot{q}_{id} + V_i \dot{Q}_i = 0$$

要素境界面  
通過熱流束

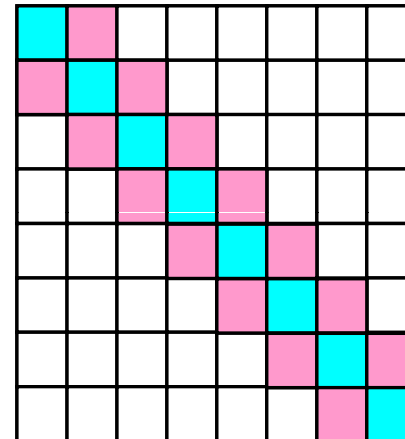
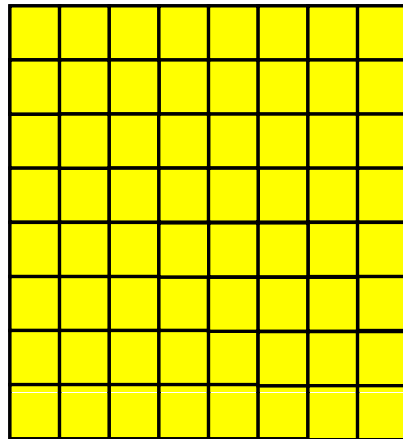
体積発熱



- $\lambda$  : 熱伝導率
- $V_i$  : 要素体積
- $S$  : 表面面積
- $d_{ij}$  : 要素中心から表面までの距離
- $q$  : 表面フラックス
- $Q$  : 体積発熱
- $T_{iB}$  : 境界温度

# 係数行列は疎行列 (Sparse Matrix)

- 0が多い
- 通常「数値解析」などで扱うのは「密行列」
- 非ゼロ成分のみを記憶する方法
  - Compressed Row Storage, CRS (後述)
- 密行列と比較して取り扱いが困難

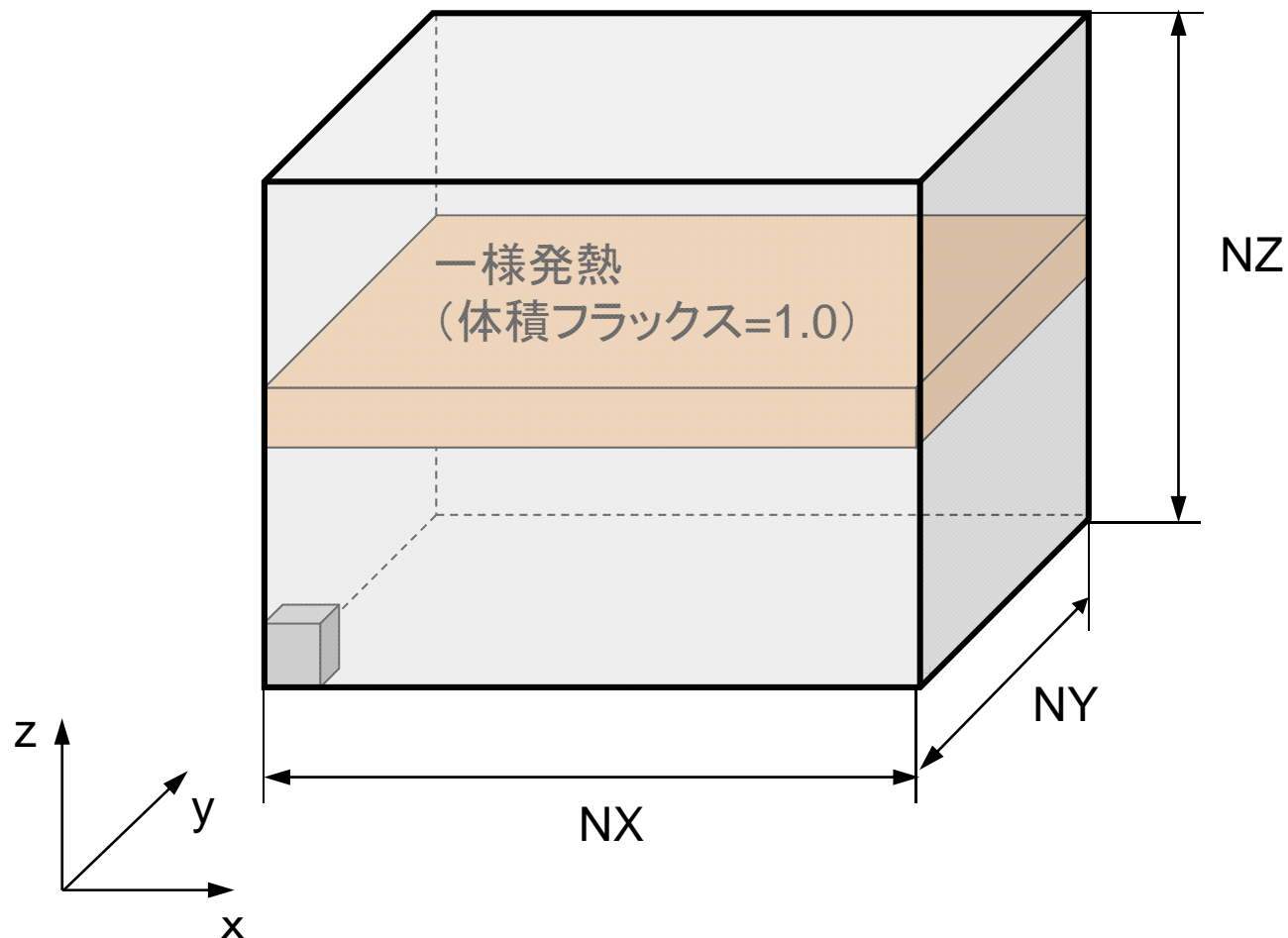


# 現行コードにおける制限

- 要素形状は六面体のみ。
  - 各要素は各辺長さ1の立方体
  - 全体形状, 境界条件等はメッシュジェネレータで規定
- 隣接要素数は要素各面に接する6面までとする。
  - プログラムを変更すれば増やすことは可能
- 境界条件
  - ディリクレ境界条件
  - ノイマン境界条件(面フラックス)
  - 体積発熱
- 要素番号は1から始まって連続していなければならない。

# 現在対象としている形状，境界条件

プログラムでは，後掲のデータ形式に従えば，任意の形状を扱うことができる



**X=Xmax**

ディリクレ境界条件  
 $T=0$

**X=Xmin**

ノイマン境界条件  
 $-\lambda(dT/dX)=1.$



- 背景：並列プログラミングの学び方
- 有限体積法の概要
- **1CPU用プログラム eps\_fvm**
  - メッシュ生成, 形状データ
  - 計算実行例
  - プログラムの内容

# T2Kで利用できるコンパイラ

- 日立コンパイラ(デフォルト)
  - Intel
  - PGI
  - GNU
- 
- 本講義では「日立コンパイラ」を使用する
    - `mpif90 -Oss -noparallel s1-3.f`
    - `mpicc -Os -noparallel s1-3.c`

# ファイルシステム(1/2)

- **/home**
  - 各コースの制限値まで利用可能(クラス全体で4TB)
  - バックアップなし
  - 全ノードで共有
- **/short**
  - 容量無制限
  - 最終アクセスから5日で消える
  - 全ノードで共有
- **/tmp**
  - ノードあたり 140GB
  - ノードローカル
  - バッチジョブ終了時に消える

# ファイルシステム (2/2)

- 分散ファイルシステム HSFS
  - 全ノードで共有するファイルシステムにはHSFSが使われている
  - 16台のファイルサーバに負荷分散
  - ユーザーには単一のディレクトリツリーが見える
  - ファイルストライプモード
    - ファイル単位で処理するサーバを割り当てる
    - 同じファイルに多数のノードからアクセスすると破綻する
- 現在はLustreも使えます: 速いです
  - `/lustre/username`

# 必要ファイルインストール:T2K

Lustreを使いたければ下記へ移動

```
$> cd /lustre/t003xx (自分のUID)
```

FORTRAN

```
$> cp /home/t00000/fvm-f.tar .
```

```
$> tar xvf fvm-f.tar
```

C

```
$> cp /home/t00000/fvm-c.tar .
```

```
$> tar xvf fvm-c.tar
```

それぞれ直下に fvm-f, fvm-c というディレクトリができます。  
これらを今後

<\$FVM>

と呼びます。

# .bash\_profile

```
$> cd
```

```
*****
```

```
$> cp /home/t00000/.bash_profile .
```

または ~/.bash\_profileに以下の2行を挿入

```
PATH="$PATH":/home/t00000/bin  
export PATH
```

```
*****
```

```
$> source .bash_profile
```

```
$> printenv
```

PATHに以下が入っていることを確認

```
home/t00000/bin
```

次回からはログイン時に自動的に起動

# メッシュ生成からやってみよう

```
$> cd <$FVM>/run
$> cat fvmmg.ctrl
      2  2  3
$> eps_fvm_mg

$> ls fvm_entire*
fvm_entire_mesh.dat
fvm_entire_mesh.inp
fvm_entire_mesh.inp_geo
```

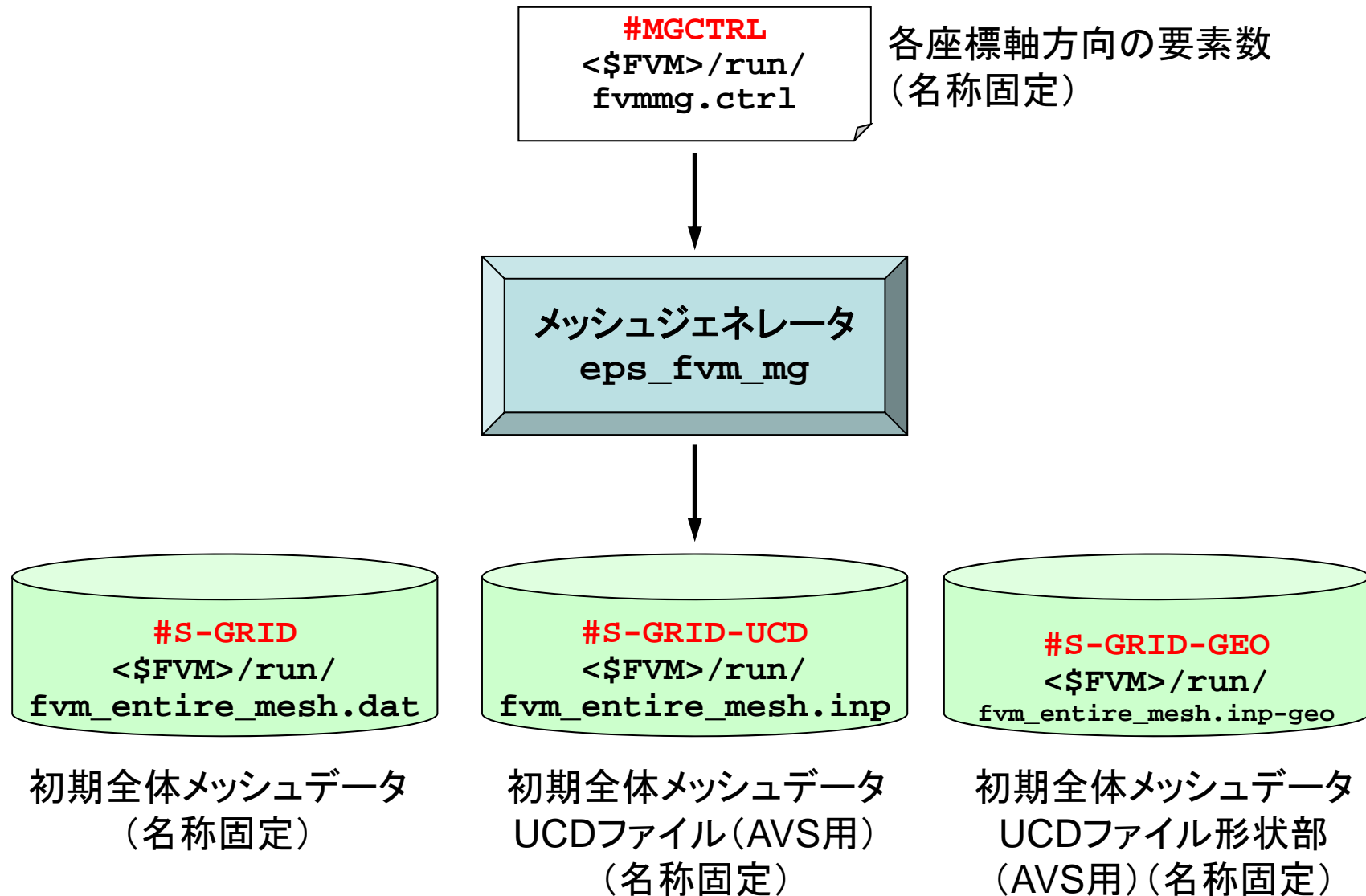
## • 入力

- `fvmmg.ctrl`: 各座標軸方向の要素数 (NX,NY,NZ) #MGCTRL
  - この場合  $2 \times 2 \times 3 = 12$  個の要素が生成される

## • 出力

- `fvm_entire_mesh.dat`: 初期全体メッシュデータ #S-GRID
- `fvm_entire_mesh.inp`: AVS表示用ファイル #S-GRID-UCD
  - メッシュ形状をmicroAVSで表示するためのファイル
- `fvm_entire_mesh.inp-geo`: AVS表示用形状ファイル #S-GRID-GEO

# メッシュ生成: 専用ツール使用





# 初期全体メッシュデータ(例)(1/6)

[http://nkl.cc.u-tokyo.ac.jp/tutorial/part\\_tutorial](http://nkl.cc.u-tokyo.ac.jp/tutorial/part_tutorial)

12	1	1.000000E+00	1.000000E+00	5.000000E-01	5.000000E-01	5.000000E-01	各要素情報
	2	1.000000E+00	1.000000E+00	1.500000E+00	5.000000E-01	5.000000E-01	
	3	1.000000E+00	1.000000E+00	5.000000E-01	1.500000E+00	5.000000E-01	
	4	1.000000E+00	1.000000E+00	1.500000E+00	1.500000E+00	5.000000E-01	
	5	1.000000E+00	1.000000E+00	5.000000E-01	5.000000E-01	1.500000E+00	
	6	1.000000E+00	1.000000E+00	1.500000E+00	5.000000E-01	1.500000E+00	
	7	1.000000E+00	1.000000E+00	5.000000E-01	1.500000E+00	1.500000E+00	
	8	1.000000E+00	1.000000E+00	1.500000E+00	1.500000E+00	1.500000E+00	
	9	1.000000E+00	1.000000E+00	5.000000E-01	5.000000E-01	2.500000E+00	
	10	1.000000E+00	1.000000E+00	1.500000E+00	5.000000E-01	2.500000E+00	
	11	1.000000E+00	1.000000E+00	5.000000E-01	1.500000E+00	2.500000E+00	
	12	1.000000E+00	1.000000E+00	1.500000E+00	1.500000E+00	2.500000E+00	
20	1	2	1.000000E+00	5.000000E-01	5.000000E-01		要素間コネクティビティ 面に隣接する要素
	1	3	1.000000E+00	5.000000E-01	5.000000E-01		
	1	5	1.000000E+00	5.000000E-01	5.000000E-01		
	2	4	1.000000E+00	5.000000E-01	5.000000E-01		
	2	6	1.000000E+00	5.000000E-01	5.000000E-01		
	3	4	1.000000E+00	5.000000E-01	5.000000E-01		
	3	7	1.000000E+00	5.000000E-01	5.000000E-01		
	4	8	1.000000E+00	5.000000E-01	5.000000E-01		
	5	6	1.000000E+00	5.000000E-01	5.000000E-01		
	5	7	1.000000E+00	5.000000E-01	5.000000E-01		
	5	9	1.000000E+00	5.000000E-01	5.000000E-01		
	6	8	1.000000E+00	5.000000E-01	5.000000E-01		
	6	10	1.000000E+00	5.000000E-01	5.000000E-01		ディリクレ境界条件 温度固定
	7	8	1.000000E+00	5.000000E-01	5.000000E-01		
	7	11	1.000000E+00	5.000000E-01	5.000000E-01		
	8	12	1.000000E+00	5.000000E-01	5.000000E-01		
	9	10	1.000000E+00	5.000000E-01	5.000000E-01		ノイマン境界条件 境界熱流束
	9	11	1.000000E+00	5.000000E-01	5.000000E-01		
	10	12	1.000000E+00	5.000000E-01	5.000000E-01		
	11	12	1.000000E+00	5.000000E-01	5.000000E-01		
6	2	1.000000E+00	5.000000E-01	0.000000E+00			体積発熱
	4	1.000000E+00	5.000000E-01	0.000000E+00			
	6	1.000000E+00	5.000000E-01	0.000000E+00			
	8	1.000000E+00	5.000000E-01	0.000000E+00			
10	1.000000E+00	5.000000E-01	0.000000E+00				
12	1.000000E+00	5.000000E-01	0.000000E+00				
6	1	1.000000E+00	1.000000E+00				
	3	1.000000E+00	1.000000E+00				
	5	1.000000E+00	1.000000E+00				
	7	1.000000E+00	1.000000E+00				
	9	1.000000E+00	1.000000E+00				
	11	1.000000E+00	1.000000E+00				
4	5	1.000000E+00					
	6	1.000000E+00					
	7	1.000000E+00					
	8	1.000000E+00					

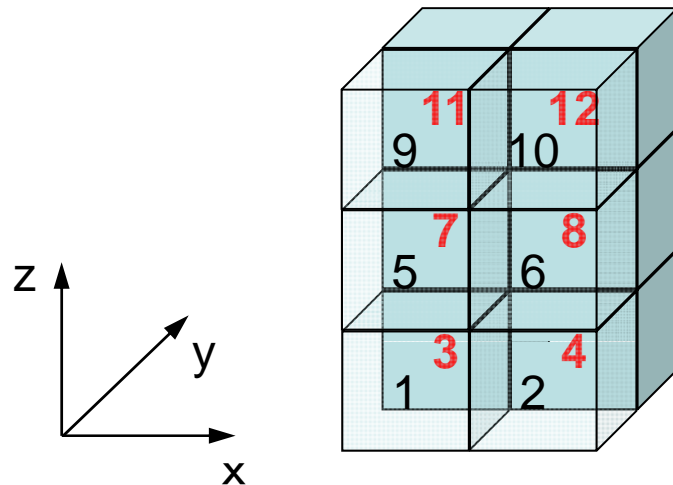
# 変数表

変数名	型	配列サイズ	内容
NODE_tot	I	-	総要素数
NODE_VOL(:)	R	NODE_tot	要素体積
NODE_COND(:)	R	NODE_tot	要素熱伝導率
NODE_XYZ(:)	R	3*NODE_tot	要素重心座標(3次元)
CONN_tot	I	-	コネクティビティ総数
CONN_node(:)	I	2*CONN_tot	コネクティビティ構成要素
CONN_COEF(:)	R	CONN_tot	コネクティビティ係数
FIX_NODE_tot	I	-	ディリクレ境界条件適用要素数
FIX_NODE_ID(:)	I	FIX_NODE_tot	ディリクレ境界条件適用要素番号
FIX_NODE_COEF(:)	R	FIX_NODE_tot	ディリクレ境界条件係数
FIX_NODE_VAL(:)	R	FIX_NODE_tot	ディリクレ境界条件値
SURF_NODE_tot	I	-	ノイマン境界条件適用要素数
SURF_NODE_ID(:)	I	SURF_NODE_tot	ノイマン境界条件適用要素番号
SURF_NODE_FLUX(:)	R	SURF_NODE_tot	ノイマン境界条件フラックス
BODY_NODE_tot	I	-	体積発熱境界条件適用要素数
BODY_NODE_ID(:)	I	BODY_NODE_tot	体積発熱境界条件適用要素番号
BODY_NODE_FLUX(:)	R	BODY_NODE_tot	体積発熱境界条件フラックス

# 初期全体メッシュデータ(例)(2/6)

## 各要素

12	要素数: NODE_tot				
1	1.000000E+00	1.000000E+00	5.000000E-01	5.000000E-01	5.000000E-01
2	1.000000E+00	1.000000E+00	1.500000E+00	5.000000E-01	5.000000E-01
3	1.000000E+00	1.000000E+00	5.000000E-01	1.500000E+00	5.000000E-01
4	1.000000E+00	1.000000E+00	1.500000E+00	1.500000E+00	5.000000E-01
5	1.000000E+00	1.000000E+00	5.000000E-01	5.000000E-01	1.500000E+00
6	1.000000E+00	1.000000E+00	1.500000E+00	5.000000E-01	1.500000E+00
7	1.000000E+00	1.000000E+00	5.000000E-01	1.500000E+00	1.500000E+00
8	1.000000E+00	1.000000E+00	1.500000E+00	1.500000E+00	1.500000E+00
9	1.000000E+00	1.000000E+00	5.000000E-01	5.000000E-01	2.500000E+00
10	1.000000E+00	1.000000E+00	1.500000E+00	5.000000E-01	2.500000E+00
11	1.000000E+00	1.000000E+00	5.000000E-01	1.500000E+00	2.500000E+00
12	1.000000E+00	1.000000E+00	1.500000E+00	1.500000E+00	2.500000E+00
要素番号	要素体積	要素熱伝導率	要素中心x座標	要素中心y座標	要素中心z座標
	NODE_VOL(i)	NODE_COND(i)	NODE_XYZ(3*i-2)	NODE_XYZ(3*i-1)	NODE_XYZ(3*i)



```

read (IUNIT, '(10i10)') NODE_tot
do i= 1, NODE_tot
  read (IUNIT, '(i10,5e16.6)')
    ii, NODE_VOL(i), NODE_COND(i),
    (NODE_XYZ(3*i-3+k), k=1, 3)
enddo

```

# 初期全体メッシュデータ(例)(3/6)

要素間コネクティビティ: ある面に接続する2要素

20 コネクティビティ総数: CONN\_tot

1	2	1.000000E+00	5.000000E-01	5.000000E-01
1	3	1.000000E+00	5.000000E-01	5.000000E-01
1	5	1.000000E+00	5.000000E-01	5.000000E-01
2	4	1.000000E+00	5.000000E-01	5.000000E-01
2	6	1.000000E+00	5.000000E-01	5.000000E-01
3	4	1.000000E+00	5.000000E-01	5.000000E-01
3	7	1.000000E+00	5.000000E-01	5.000000E-01
4	8	1.000000E+00	5.000000E-01	5.000000E-01
5	6	1.000000E+00	5.000000E-01	5.000000E-01
5	7	1.000000E+00	5.000000E-01	5.000000E-01
5	9	1.000000E+00	5.000000E-01	5.000000E-01
6	8	1.000000E+00	5.000000E-01	5.000000E-01
6	10	1.000000E+00	5.000000E-01	5.000000E-01
7	8	1.000000E+00	5.000000E-01	5.000000E-01
7	11	1.000000E+00	5.000000E-01	5.000000E-01
8	12	1.000000E+00	5.000000E-01	5.000000E-01
9	10	1.000000E+00	5.000000E-01	5.000000E-01
9	11	1.000000E+00	5.000000E-01	5.000000E-01
10	12	1.000000E+00	5.000000E-01	5.000000E-01
11	12	1.000000E+00	5.000000E-01	5.000000E-01

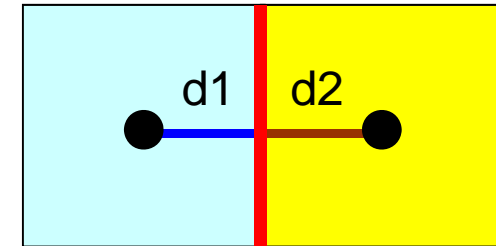
E1 E2 S: 要素境界面積

d1: E1重心～  
境界面距離

d2: E2重心～  
境界面距離

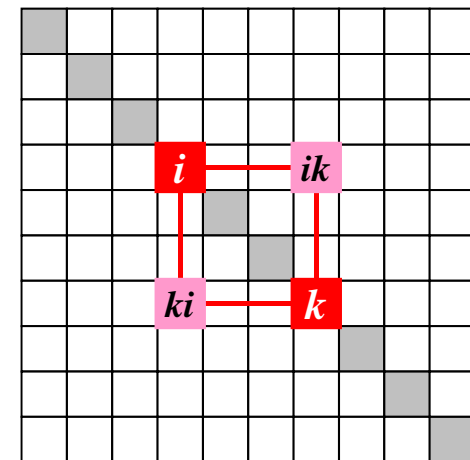
E1= CONN\_NODE(2\*ic-1)

E2= CONN\_NODE(2\*ic)



E1

E2



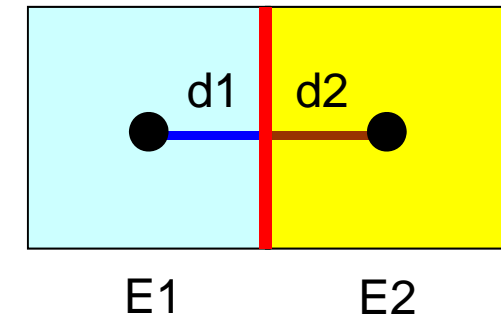
係数行列の非対角成分

```
read (IUNIT,'(10i10)') CONN_tot
do i= 1, CONN_tot
  read (IUNIT,'( 2i10, 3e16.6)')      &
    (CONN_NODE(2*i-2+k), k= 1, 2),    &
    AREA, d1, d2
enddo
```

# 初期全体メッシュデータ(例)(3/6)

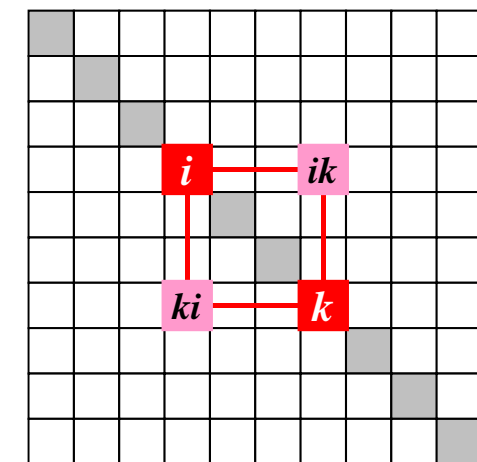
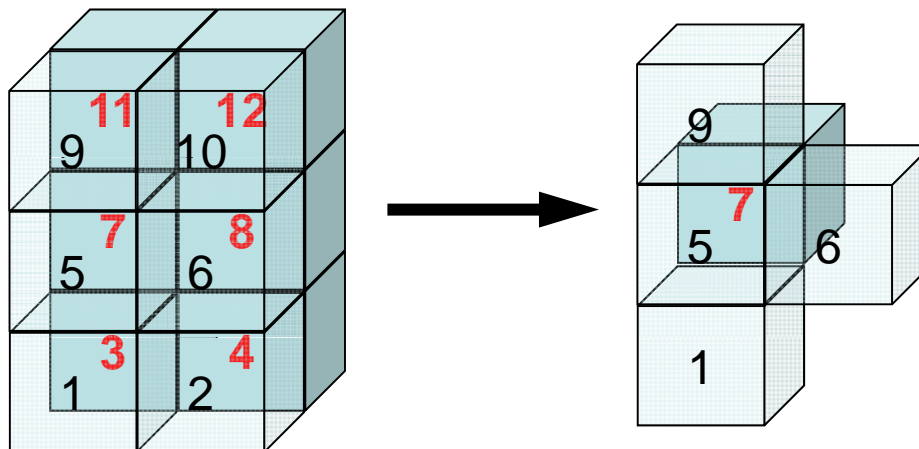
要素間コネクティビティ:5番要素に着目

1	5	1.0E+00	5.0E-01	5.0E-01
5	6	1.0E+00	5.0E-01	5.0E-01
5	7	1.0E+00	5.0E-01	5.0E-01
5	9	1.0E+00	5.0E-01	5.0E-01
<b>E1</b>	<b>E2</b>	<b>S:要素境界面積</b>	<b>d1:E1重心～ 境界面距離</b>	<b>d2:E2重心～ 境界面距離</b>



各要素は一辺の長さ1の立方体:

- 要素境界面積は $1 \times 1 = 1$
- 各要素重心から境界面までの距離は0.50



係数行列の非対角成分

# 初期全体メッシュデータ(例)(4/6)

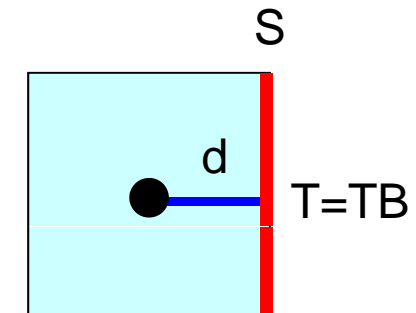
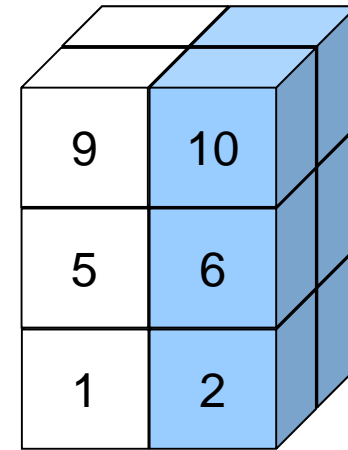
## ディリクレ境界条件(表面温度固定)

6    **ディリクレ境界条件を与える要素数: FIX\_NODE\_tot**

2	1.000000E+00	5.000000E-01	0.000000E+00
4	1.000000E+00	5.000000E-01	0.000000E+00
6	1.000000E+00	5.000000E-01	0.000000E+00
8	1.000000E+00	5.000000E-01	0.000000E+00
10	1.000000E+00	5.000000E-01	0.000000E+00
12	1.000000E+00	5.000000E-01	0.000000E+00

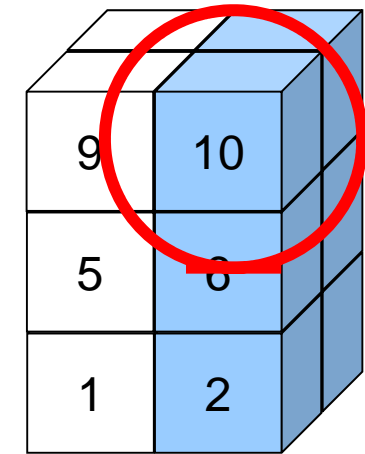
**要素番号**    **境界面面積s**    **境界面と要素重心距離d**    **境界値TB**  
**FIX\_NODE\_ID(ib)**    **FIX\_NODE\_VAL(ib)**

```
read (IUNIT,'(10i10)') FIX_NODE_tot
do i= 1, FIX_NODE_tot
  read (IUNIT, '(i10, 3e16.6)')
    FIX_NODE_ID(i), S, d,
    FIX_NODE_VAL(i)
enddo
```

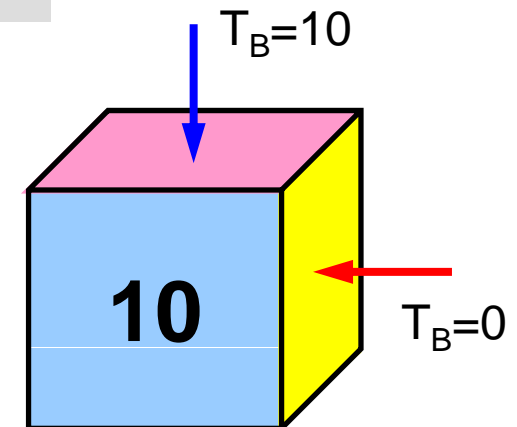


# 1つの「要素」に複数のディリクレ境界条件を与えることも実は可能

7	ディリクレ境界条件を与える要素数: <b>FIX_NODE_tot</b>		
2	1.000000E+00	5.000000E-01	0.000000E+00
4	1.000000E+00	5.000000E-01	0.000000E+00
6	1.000000E+00	5.000000E-01	0.000000E+00
8	1.000000E+00	5.000000E-01	0.000000E+00
10	1.000000E+00	5.000000E-01	0.000000E+00
12	1.000000E+00	5.000000E-01	0.000000E+00
10	1.000000E+00	5.000000E-01	1.000000E+01
要素番号    境界面面積s                    境界面と要素重心距離d    境界値T <sub>B</sub>			
FIX_NODE_ID(ib)			
FIX_NODE_VAL(ib)			



ある表面の温度を規定するだけであって、その要素の温度自体(要素中心)を規定するわけではない。「要素数」というよりは「面数」という方がより正確。



# 有限体積法による空間離散化

## 熱流束に関するつりあい式

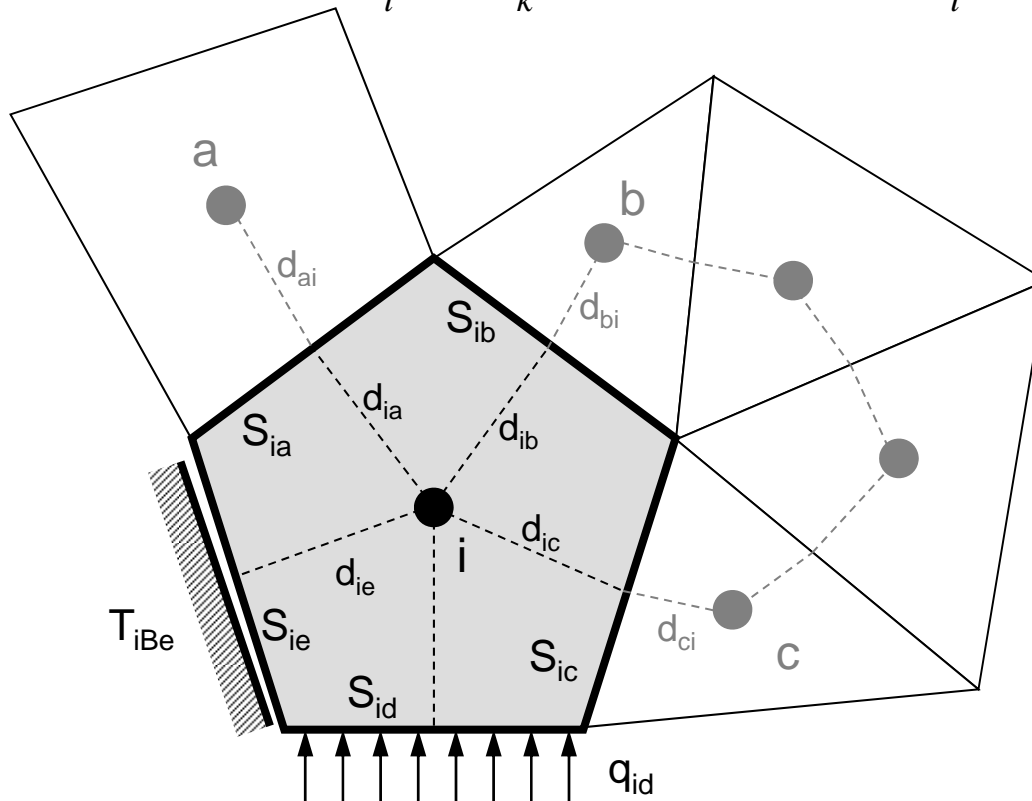
隣接要素との熱伝導

温度固定境界

$$\sum_k \frac{S_{ik}}{\frac{d_{ik}}{\lambda_i} + \frac{d_{ki}}{\lambda_k}} (T_k - T_i) + \sum_e \frac{S_{ie}}{\frac{d_{ie}}{\lambda_i}} (T_{iBe} - T_i) + \sum_d S_{id} \dot{q}_{id} + V_i \dot{Q}_i = 0$$

要素境界面  
通過熱流束

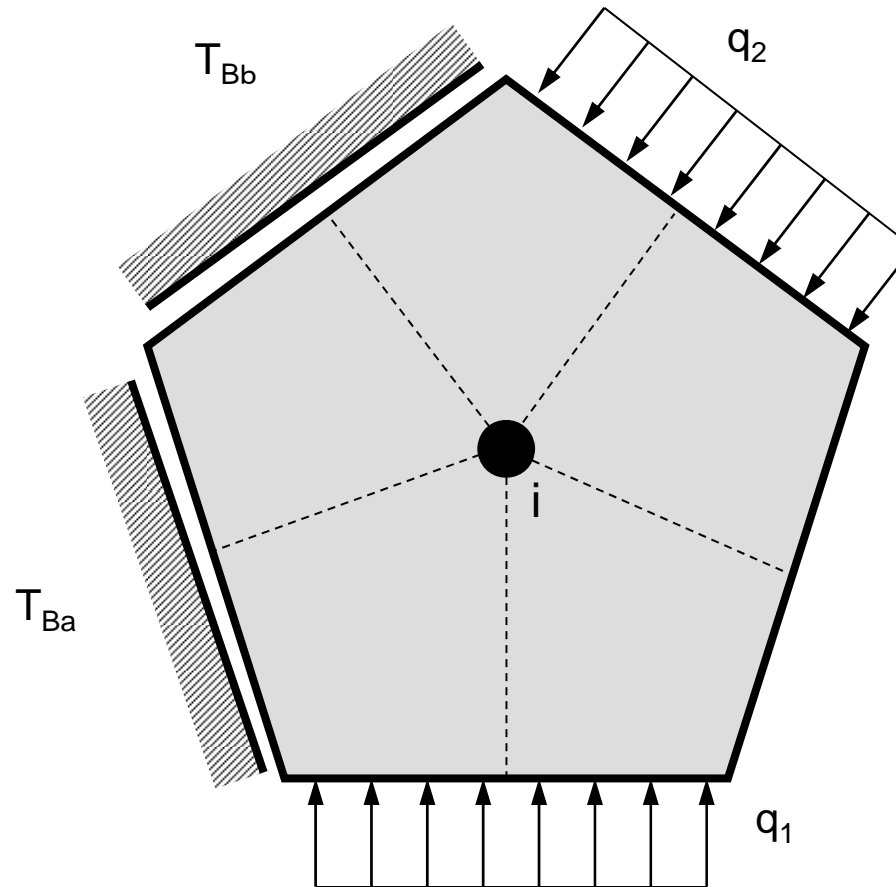
体積発熱



- $\lambda$  : 熱伝導率
- $V_i$  : 要素体積
- $S$  : 表面面積
- $d_{ij}$  : 要素中心から表面までの距離
- $q$  : 表面フラックス
- $Q$  : 体積発熱
- $T_{iB}$  : 境界温度



# 各要素に適用できる境界条件の数に制限は無い



# 初期全体メッシュデータ(例)(5/6)

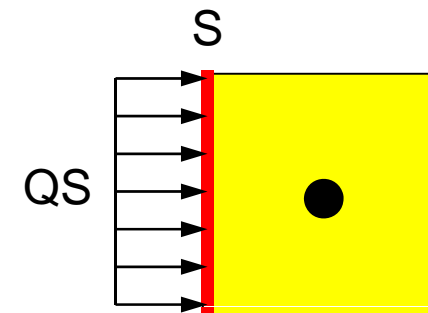
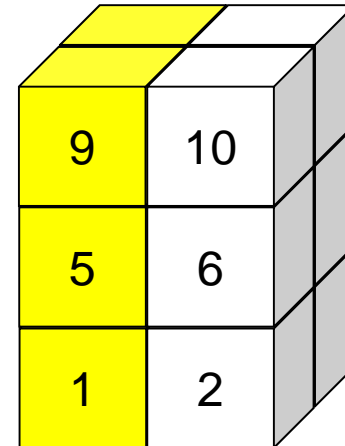
## ノイマン境界条件(表面熱フラックス: $W/m^2$ )

6 ノイマン境界条件を与える要素数: SURF\_NODE\_tot

1	1.000000E+00	1.000000E+00
3	1.000000E+00	1.000000E+00
5	1.000000E+00	1.000000E+00
7	1.000000E+00	1.000000E+00
9	1.000000E+00	1.000000E+00
11	1.000000E+00	1.000000E+00

要素番号 境界表面積s 表面フラックスQS  
SURF\_NODE\_ID(ib)

```
read (IUNIT,'(10i10)') SURF_NODE_tot
do i= 1, SURF_NODE_tot
  read (IUNIT, '(i10, 3e16.6)')      &
    SURF_NODE_ID(i), S, QS
enddo
```



1つの要素に複数のノイマン境界条件を適用することは可能(複数の面に異なった熱流束を与える)。

# 初期全体メッシュデータ(例)(6/6)

## 体積発熱( $\text{W/m}^3$ )

4 体積発熱を与える要素数

5 1.000000E+00

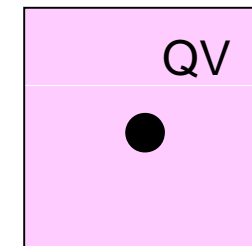
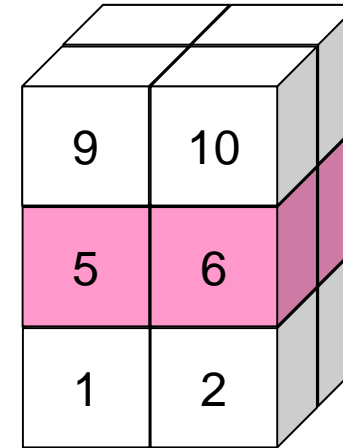
6 1.000000E+00

7 1.000000E+00

8 1.000000E+00

要素番号 体積フラックスqv

```
read (IUNIT,'(10i10)') BODY_NODE_tot
do i= 1, BODY_NODE_tot
  read (IUNIT, '(i10, 3e16.6)') icel, qv
enddo
```

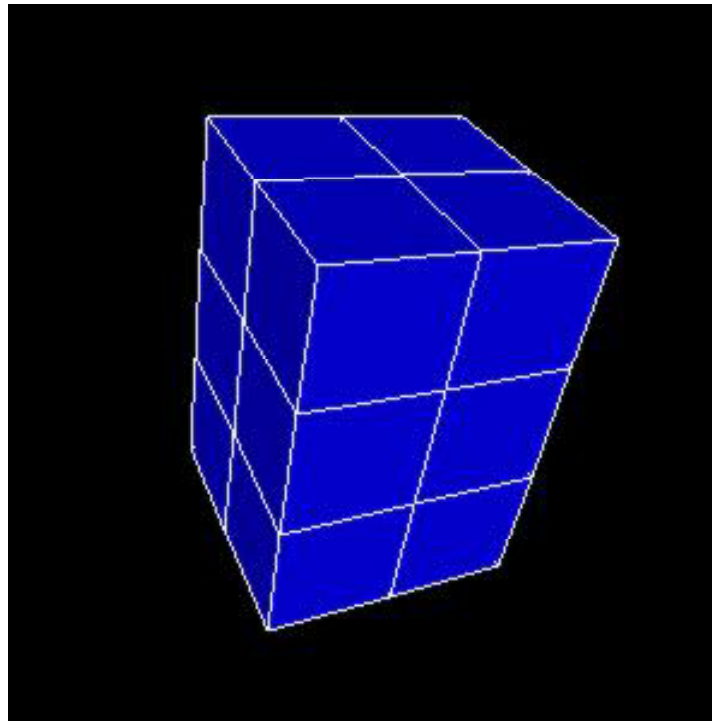


同じ要素に対して、複数回体積発熱を指定した場合には、一番最後に指定した値が適用される。

# MicroAVSによる表示

**#S-GRID-UCD:**

**<\$FVM>/run/fvm\_entire\_mesh.inp**



- AVS, microAVSのUCDファイルフォーマット (Unstructured Cell Data)を使用。
  - <http://kgt.cybernet.co.jp/>

# MicroAVSの使用

- 手順は以下
  - <http://nkl.cc.u-tokyo.ac.jp/10e/mavs/>

# UCDフォーマットについて(1/4)

## MicroAVSで扱うことのできる要素形状

### 要素の種類

点

線

三角形

四角形

四面体

角錐

三角柱

六面体

二次要素

線2

三角形2

四角形2

四面体2

角錐2

三角柱2

六面体2

### キーワード

pt

line

tri

quad

tet

pyr

prism

hex

line2

tri2

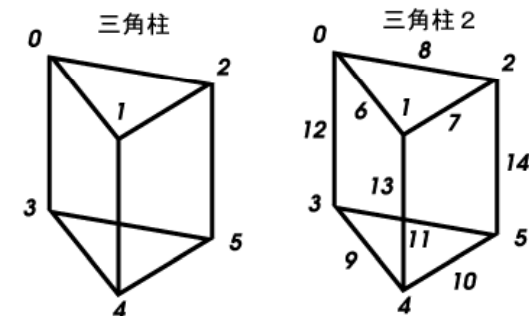
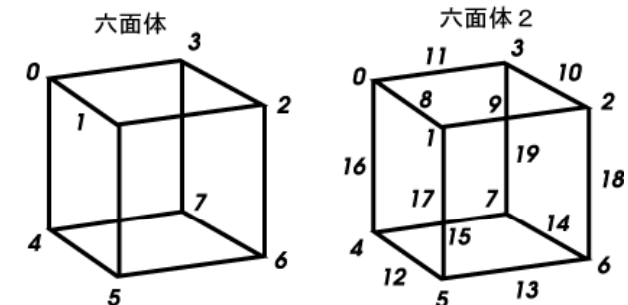
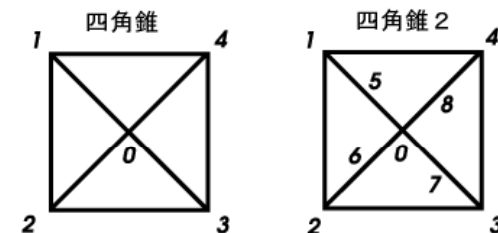
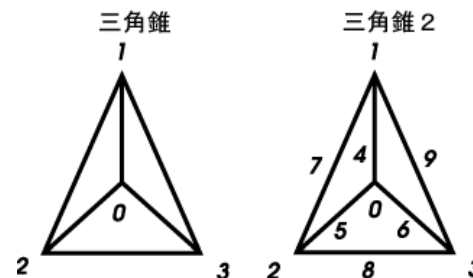
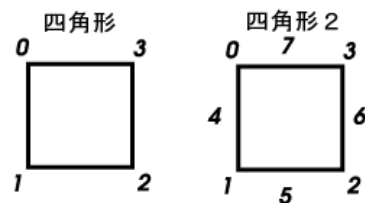
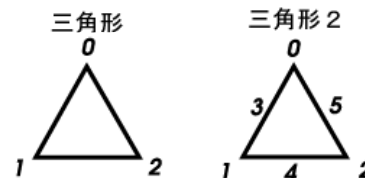
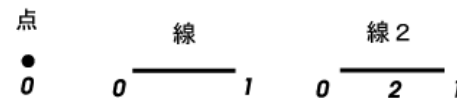
quad2

tet2

pyr2

prism2

hex2



# UCDフォーマットについて(2/4)

## 書式の概要

- ファイルの拡張子
  - データファイルの拡張子は “.inp”
- 書式
  - アスキーファイル
  - 時系列(複数ステップ)に対応したものが標準フォーマット
  - MicroAVS Ver.6.0(現在はVer.13.0)まで使用していた旧フォーマット(単一ステップデータのための書式)も読み込むことは可能
    - 実は一部これを使用している

# UCDフォーマットについて(4/3)

## 書式の概要

(コメント行)  
 (ステップ数)  
 (データの繰り返しタイプ)  
 (ステップ番号1) (コメント)  
 (全節点数) (全要素数)  
 (節点番号1) (X座標) (Y座標) (Z座標)  
 (節点番号2) (X座標) (Y座標) (Z座標)  
  
 .  
  
 (要素番号1) (材料番号) (要素の種類) (要素を構成する節点のつながり)  
 (要素番号2) (材料番号) (要素の種類) (要素を構成する節点のつながり)  
  
 .  
  
 (各節点のデータ数) (各要素のデータ数)  
 (節点のデータ成分数) (成分1の構成数) (成分2の構成数) ... (各成分の構成数)  
 (節点データ成分1のラベル), (単位)  
 (節点データ成分2のラベル), (単位)  
  
 .  
  
 (各節点データ成分のラベル), (単位)  
 (節点番号1) (節点データ1) (節点データ2) .....  
 (節点番号2) (節点データ1) (節点データ2) .....  
  
 .  
  
 .  
  
 .

(要素のデータ成分数) (成分1の構成数) (成分2の構成数) ... (各成分の構成数)  
 (要素データ成分1のラベル), (単位)  
 (要素データ成分2のラベル), (単位)  
  
 .  
  
 (各要素データ成分のラベル), (単位)  
 (要素番号1) (要素データ1) (要素データ2) .....  
 (要素番号2) (要素データ1) (要素データ2) .....  
  
 .  
  
 (ステップ番号2) (コメント) (全節点数) (全要素数)  
  
 .  
  
 .  
  
 .



# UCDフォーマットについて(4/4)

## 旧フォーマット

(全節点数) (全要素数) (各節点のデータ数) (各要素のデータ数) (モデルのデータ数)  
 (節点番号1) (X座標) (Y座標) (Z座標)  
 (節点番号2) (X座標) (Y座標) (Z座標)

・  
 ・  
 ・

(要素番号1) (材料番号) (要素の種類) (要素を構成する節点のつながり)  
 (要素番号2) (材料番号) (要素の種類) (要素を構成する節点のつながり)

・  
 ・  
 ・

(節点のデータ成分数) (成分1の構成数) (成分2の構成数) ... (各成分の構成数)  
 (節点データ成分1のラベル), (単位)  
 (節点データ成分2のラベル), (単位)

・  
 ・  
 ・

(各節点データ成分のラベル), (単位)  
 (節点番号1) (節点データ1) (節点データ2) .....  
 (節点番号2) (節点データ1) (節点データ2) .....

・  
 ・  
 ・

(要素のデータ成分数) (成分1の構成数) (成分2の構成数) ... (各成分の構成数)  
 (要素データ成分1のラベル), (単位)  
 (要素データ成分2のラベル), (単位)

・  
 ・  
 ・

(各要素データ成分のラベル), (単位)  
 (要素番号1) (要素データ1) (要素データ2) .....  
 (要素番号2) (要素データ1) (要素データ2) .....

・  
 ・  
 ・

# UCDデータの例

**#**  
**1**  
**data**  
**step1**  
**36 12**

1	0.0	0.0	0.0
2	1.0	0.0	0.0
3	2.0	0.0	0.0
4	0.0	1.0	0.0
5	1.0	1.0	0.0
6	2.0	1.0	0.0
...			
31	0.0	1.0	3.0
32	1.0	1.0	3.0
33	2.0	1.0	3.0
34	0.0	2.0	3.0
35	1.0	2.0	3.0
36	2.0	2.0	3.0

1	1	hex	1	2	5	4	10	11	14	13
2	1	hex	2	3	6	5	11	12	15	14
3	1	hex	4	5	8	7	13	14	17	16
...										
10	1	hex	20	21	24	23	29	30	33	32
11	1	hex	22	23	26	25	31	32	35	34
12	1	hex	23	24	27	26	32	33	36	35

**0 1**  
**1 1**  
**Mesh,**  
 1 1.00  
 2 1.00  
 3 1.00  
 4 1.00  
 ...  
 10 1.00  
 11 1.00  
 12 1.00

新フォーマット

**36 12 0 1 0**

1	0.0	0.0	0.0
2	1.0	0.0	0.0
3	2.0	0.0	0.0
4	0.0	1.0	0.0
5	1.0	1.0	0.0
6	2.0	1.0	0.0
...			
31	0.0	1.0	3.0
32	1.0	1.0	3.0
33	2.0	1.0	3.0
34	0.0	2.0	3.0
35	1.0	2.0	3.0
36	2.0	2.0	3.0

1	1	hex	1	2	5	4	10	11	14	13
2	1	hex	2	3	6	5	11	12	15	14
3	1	hex	4	5	8	7	13	14	17	16
...										
10	1	hex	20	21	24	23	29	30	33	32
11	1	hex	22	23	26	25	31	32	35	34
12	1	hex	23	24	27	26	32	33	36	35

**1 1**  
**Mesh,**  
 1 1.00  
 2 1.00  
 3 1.00  
 4 1.00  
 ...  
 10 1.00  
 11 1.00  
 12 1.00

旧フォーマット

- 背景：並列プログラミングの学び方
- 有限体積法の概要
- 1CPU用プログラム `eps_fvm`
  - メッシュ生成, 形状データ
  - 計算実行例
  - プログラムの内容

# 「eps\_fvm」計算の実行

```
$> cd <$FVM>/serial  
$> make
```

...

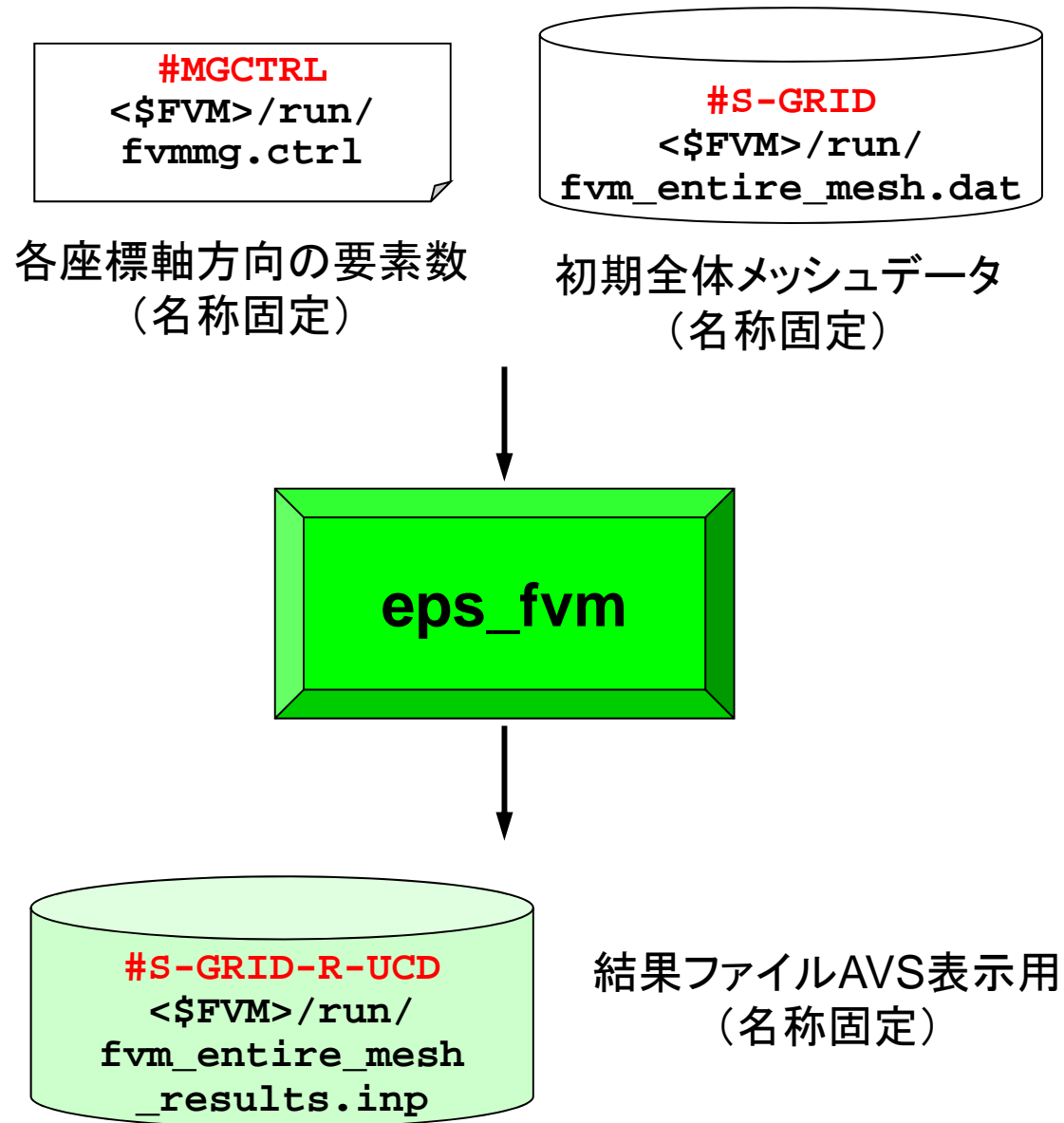
```
$> cd ../run  
$> ls eps_fvm  
    eps_fvm
```

ロードモジュールの生成確認

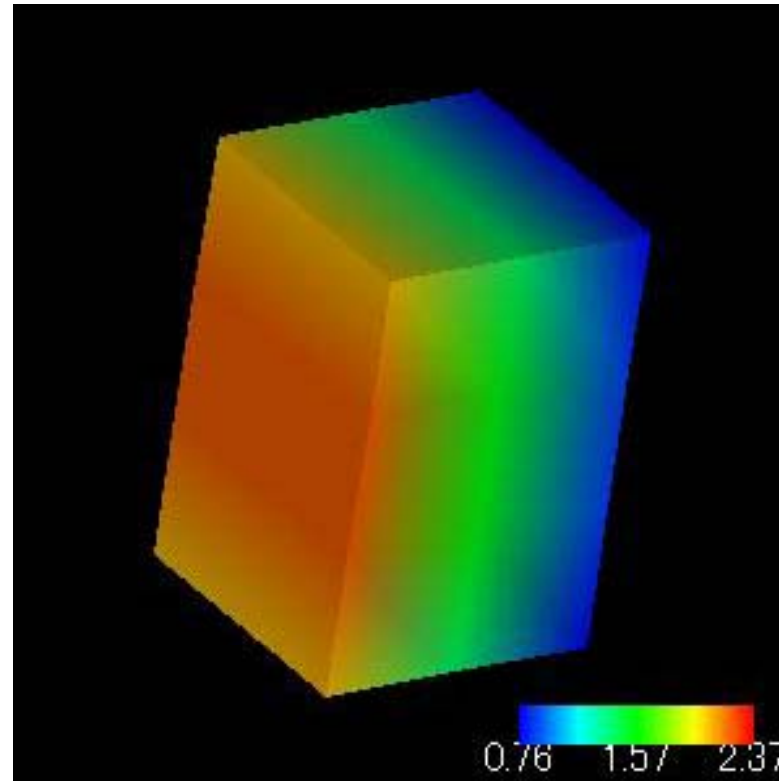
```
$> ./eps_fvm
```

- 実行形式 **eps\_fvm**は<\$FVM>/run に生成される。
- 入力
  - <\$FVM>/run/fvmmg.ctrl **#MGCTRL**
  - <\$FVM>/run/fvm\_entire\_mesh.dat **#S-GRID**
  - ファイルを<\$FVM>/runに予め生成しておく必要がある。
- 出力
  - <\$FVM>/run/fvm\_entire\_mesh\_results.inp(名称固定)
    - MicroAVS用結果出力 **#S-GRID-R-UCD**

# シミュレーションコード: eps\_fvm



# 計算結果



- 「`fvm_entire_mesh_results.inp`」をMicroAVSによって処理することができる。

- 背景：並列プログラミングの学び方
- 有限体積法の概要
- 1CPU用プログラム **eps\_fvm**
  - メッシュ生成, 形状データ
  - 計算実行例
  - プログラムの内容

# プログラムの概要

```
$> cd <$FVM>/serial
$> cat eps_fvm.f
```

メインプログラム

```

program eps_fvm

use eps_fvm_all
implicit REAL*8 (A-H,O-Z)

call eps_fvm_input_grid
call poi_gen
call eps_fvm_solve

call output_ucd

end program eps_fvm
```



# 「eps\_fvm」処理: メイン (1/2)

## eps\_fvm\_all

```
program eps_fvm
  use eps_fvm_all

  implicit REAL*8 (A-H,O-Z)

  call eps_fvm_input_grid
  call poi_gen
  call eps_fvm_solver
  call output_ucd

  end program eps_fvm
```

変数の内容について記載したモジュールブロック(コモンブロックのようなもの)。

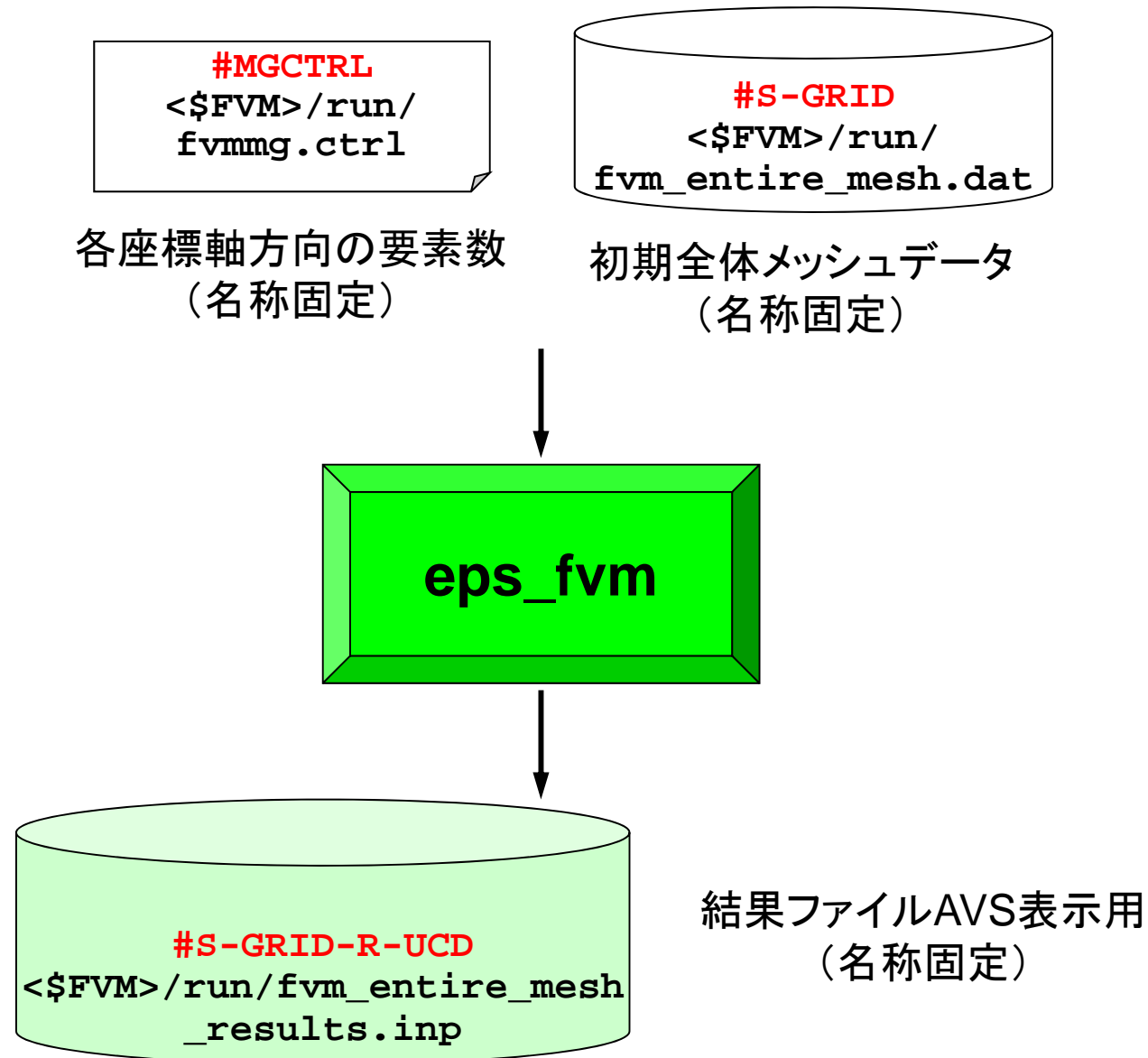
詳細はチュートリアル参照

[http://nkl.cc.u-tokyo.ac.jp/tutorial/eps\\_fvm\\_tutorial/](http://nkl.cc.u-tokyo.ac.jp/tutorial/eps_fvm_tutorial/)

[http://nkl.cc.u-tokyo.ac.jp/tutorial/eps\\_fvm\\_tutorial.tar](http://nkl.cc.u-tokyo.ac.jp/tutorial/eps_fvm_tutorial.tar)

```
module eps_fvm_all
  use eps_fvm_util
  use eps_fvm_pcg
  use appl_cntl
end module eps_fvm_all
```

# eps\_fvm の処理



# 「eps\_fvm」処理：メイン(2/2)

## その他

```
program eps_fvm  
use eps_fvm_all  
  
implicit REAL*8 (A-H,O-Z)
```

```
call eps_fvm_input_grid  
call poi_gen  
call eps_fvm_solver  
call output_ucd
```

```
end program eps_fvm
```

メッシュ読み込み(#S-GRID)

マトリクス生成

線形ソルバー

AVS用結果ファイル書き出し(S-GRID-R-UCD)

```
program eps_fvm
use eps_fvm_all

implicit REAL*8 (A-H,O-Z)
```

```
call eps_fvm_input_grid
```

```
call poi_gen
```

```
call eps_fvm_solver
```

```
call output_ucd
```

```
end program eps_fvm
```

メッシュ読み込み(#S-GRID)

マトリクス生成

線形ソルバー

AVS用結果ファイル書き出し(S-GRID-R-UCD)

# メッシュ関連変数 (eps\_fvm\_util)

変数名	型	配列サイズ	内容
NODE_tot	I	-	要素数
NODE_VOL(:)	R	NODE_tot	要素体積
NODE_COND(:)	R	NODE_tot	要素熱伝導率
NODE_XYZ(:)	R	3*NODE_tot	要素重心座標(3次元)
CONN_tot	I	-	コネクティビティ総数
CONN_node(:)	I	2*CONN_tot	コネクティビティ構成要素
CONN_COEF(:)	R	CONN_tot	コネクティビティ係数
FIX_NODE_tot	I	-	ディリクレ境界条件適用要素数
FIX_NODE_ID(:)	I	FIX_NODE_tot	ディリクレ境界条件適用要素番号
FIX_NODE_COEF(:)	R	FIX_NODE_tot	ディリクレ境界条件係数
FIX_NODE_VAL(:)	R	FIX_NODE_tot	ディリクレ境界条件値
SURF_NODE_tot	I	-	ノイマン境界条件適用要素数
SURF_NODE_ID(:)	I	SURF_NODE_tot	ノイマン境界条件適用要素番号
SURF_NODE_FLUX(:)	R	SURF_NODE_tot	ノイマン境界条件フラックス
BODY_NODE_tot	I	-	体積発熱境界条件適用要素数
BODY_NODE_ID(:)	I	BODY_NODE_tot	体積発熱境界条件適用要素番号
BODY_NODE_FLUX(:)	R	BODY_NODE_tot	体積発熱境界条件フラックス

# 「eps\_fvm」処理: メッシュ読み込み (1/5)

```

subroutine eps_fvm_input_grid
use hpcmw_eps_fvm_all
implicit REAL*8 (A-H,O-Z)

character(len=NAME_LEN) :: member
character(len=80) :: LINE

!C
!C +-----+
!C | MESH INPUT |
!C +-----+
!C==
      open (22, file='fvmmg.ctrl', status='unknown')
      read (22,*) NX, NY, NZ
      close (22)

      IUNIT= 11
      open (IUNIT,file= 'fvm_entire_mesh.dat', status='unknown')

!C
!C-- NODE
      read (IUNIT, '(10i10)') NODE_tot

      if (NODE_tot.ne.NX*NY*NZ) then
        write (*,'(a)') "incosistent test.grid and test.mesh !!!"
        call hpcmw_eps_fvm_abort
      endif

      allocate (NODE_VOL(NODE_tot), NODE_COND(NODE_tot), &
&              NODE_XYZ(3*NODE_tot))

      do i= 1, NODE_tot
        read (IUNIT,'(i10,5e16.6)') ii, NODE_VOL(i), NODE_COND(i), &
&              (NODE_XYZ(3*i-3+k), k=1, 3)
      enddo

```

各座標軸方向の  
要素数, AVS出力  
用に必要

各要素情報の読み  
込み

NODE\_tot:  
総要素数

# 「eps\_fvm」処理: メッシュ読み込み(1/5)

```
!C
!C-- NODE
      read (IUNIT, '(10i10)') NODE_tot

      if (NODE_tot.ne.NX*NY*NZ) then
        write (*,'(a)') "incosistent test.grid and test.mesh !!!"
        call hpcmw_eps_fvm_abort
      endif

      allocate (NODE_VOL(NODE_tot), NODE_COND(NODE_tot), &
&              NODE_XYZ(3*NODE_tot))

      do i= 1, NODE_tot
        read (IUNIT,'(i10,5e16.6)') ii, NODE_VOL(i), NODE_COND(i), &
&              (NODE_XYZ(3*i-3+k), k=1, 3)
      enddo
```

12	要素数: NODE_tot				
1	1.000000E+00	1.000000E+00	5.000000E-01	5.000000E-01	5.000000E-01
2	1.000000E+00	1.000000E+00	1.500000E+00	5.000000E-01	5.000000E-01
3	1.000000E+00	1.000000E+00	5.000000E-01	1.500000E+00	5.000000E-01
4	1.000000E+00	1.000000E+00	1.500000E+00	1.500000E+00	5.000000E-01
5	1.000000E+00	1.000000E+00	5.000000E-01	5.000000E-01	1.500000E+00
6	1.000000E+00	1.000000E+00	1.500000E+00	5.000000E-01	1.500000E+00
7	1.000000E+00	1.000000E+00	5.000000E-01	1.500000E+00	1.500000E+00
8	1.000000E+00	1.000000E+00	1.500000E+00	1.500000E+00	1.500000E+00
9	1.000000E+00	1.000000E+00	5.000000E-01	5.000000E-01	2.500000E+00
10	1.000000E+00	1.000000E+00	1.500000E+00	5.000000E-01	2.500000E+00
11	1.000000E+00	1.000000E+00	5.000000E-01	1.500000E+00	2.500000E+00
12	1.000000E+00	1.000000E+00	1.500000E+00	1.500000E+00	2.500000E+00
要素番号	要素体積	要素熱伝導率	要素中心x座標	要素中心y座標	要素中心z座標
	NODE_VOL(i)	NODE_COND(i)	NODE_XYZ(3*i-2)	NODE_XYZ(3*i-1)	NODE_XYZ(3*i)

# 「eps\_fvm」処理：メッシュ読み込み(2/5)

## コネクティビティ情報

```
!C
!C-- CONNECTION
      read (IUNIT,'(10i10)') CONN_tot
      allocate (CONN_NODE(2*CONN_tot), CONN_COEF(CONN_tot))
      do i= 1, CONN_tot
        read (IUNIT,'( 2i10, 3e16.6)') in1, in2, AREA, D1, D2
        CONN_NODE(2*i-1)= in1
        CONN_NODE(2*i )= in2
        C1 = NODE_COND(in1)
        C2 = NODE_COND(in2)
        CONN_COEF(i)= AREA / ( D1/C1 + D2/C2 )
      enddo
```

CONN tot:  
総コネクティビティ数

20	コネクティビティ総数: CONN_tot			
1	2	1.000000E+00	5.000000E-01	5.000000E-01
1	3	1.000000E+00	5.000000E-01	5.000000E-01
1	5	1.000000E+00	5.000000E-01	5.000000E-01
2	4	1.000000E+00	5.000000E-01	5.000000E-01
...				
6	10	1.000000E+00	5.000000E-01	5.000000E-01
7	8	1.000000E+00	5.000000E-01	5.000000E-01
7	11	1.000000E+00	5.000000E-01	5.000000E-01
8	12	1.000000E+00	5.000000E-01	5.000000E-01
9	10	1.000000E+00	5.000000E-01	5.000000E-01
9	11	1.000000E+00	5.000000E-01	5.000000E-01
10	12	1.000000E+00	5.000000E-01	5.000000E-01
11	12	1.000000E+00	5.000000E-01	5.000000E-01
E1	E2	s:要素境界面積	d1:E1重心～ 境界面距離	d2:E2重心～ 境界面距離

E1= CONN\_NODE(2\*ic-1)

E2= CONN\_NODE(2\*ic)



# 有限体積法による空間離散化

## 熱流束に関するつりあい式

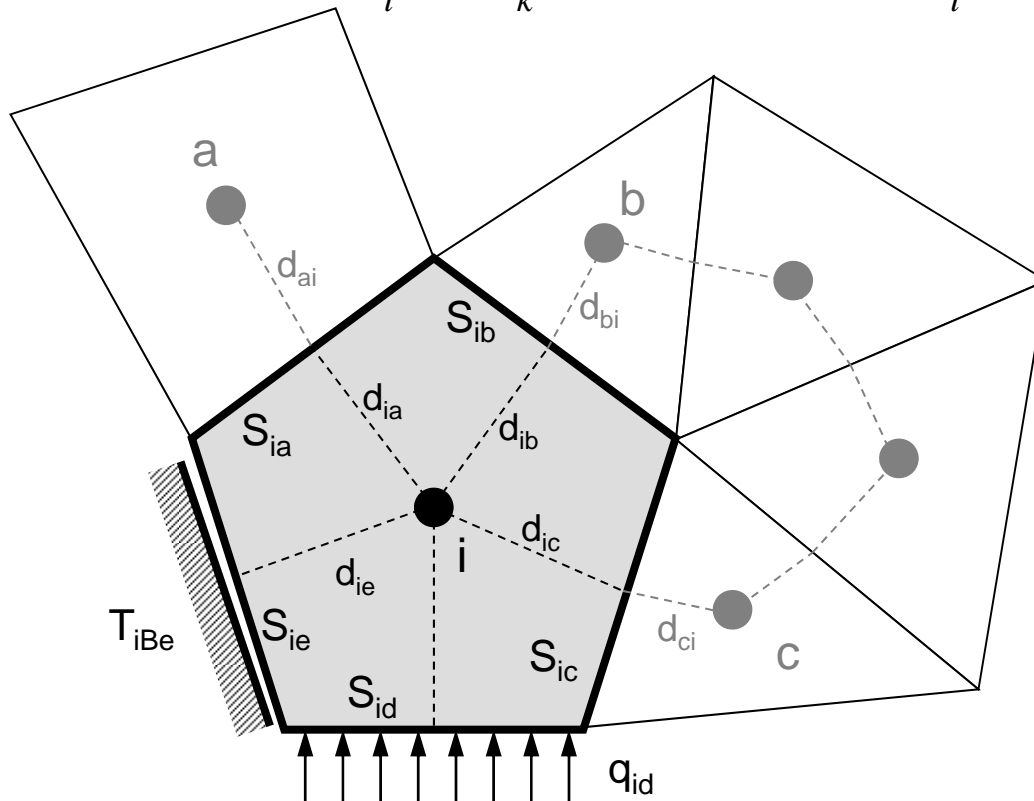
隣接要素との熱伝導

温度固定境界

$$\sum_k \frac{S_{ik}}{\frac{d_{ik}}{\lambda_i} + \frac{d_{ki}}{\lambda_k}} (T_k - T_i) + \sum_e \frac{S_{ie}}{\frac{d_{ie}}{\lambda_i}} (T_{iBe} - T_i) + \sum_d S_{id} \dot{q}_{id} + V_i \dot{Q}_i = 0$$

要素境界面  
通過熱流束

体積発熱

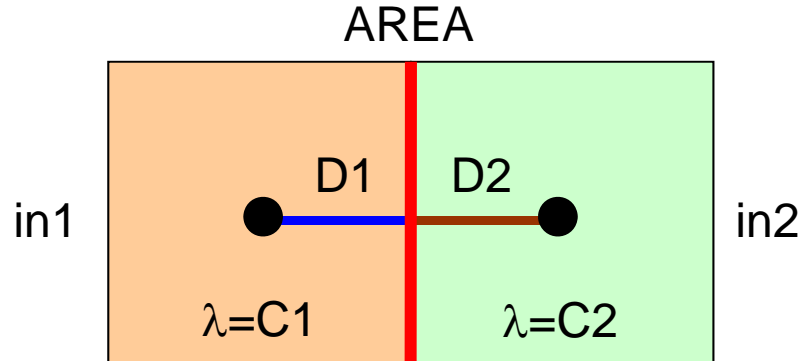


- $\lambda$  : 熱伝導率
- $V_i$  : 要素体積
- $S$  : 表面面積
- $d_{ij}$  : 要素中心から表面までの距離
- $q$  : 表面フラックス
- $Q$  : 体積発熱
- $T_{iB}$  : 境界温度

# 「eps\_fvm」処理：メッシュ読み込み(2/5)

## コネクティビティ情報

```
!C
!C-- CONNECTION
  read (IUNIT,'(10i10)') CONN_tot
  allocate (CONN_NODE(2*CONN_tot), CONN_COEF(CONN_tot))
  do i= 1, CONN_tot
    read (IUNIT,'( 2i10, 3e16.6)') in1, in2, AREA, D1, D2
    CONN_NODE(2*i-1)= in1
    CONN_NODE(2*i )= in2
    C1 = NODE_COND(in1)
    C2 = NODE_COND(in2)
    CONN_COEF(i)= AREA / ( D1/C1 + D2/C2 )
  enddo
```



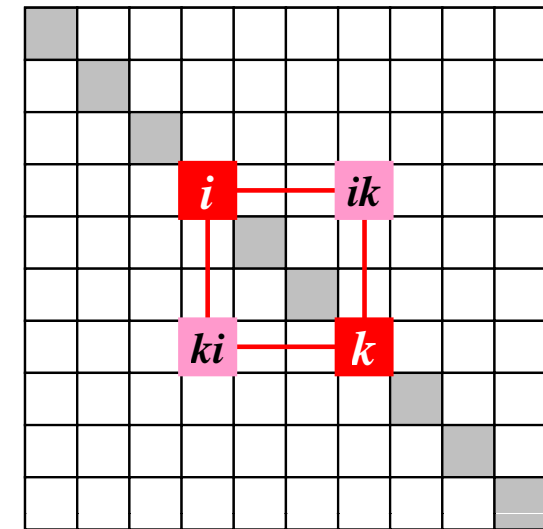
$$\sum_k \left[ \frac{S_{ik}}{\frac{d_{ik}}{\lambda_i} + \frac{d_{ki}}{\lambda_k}} \right] (T_k - T_i) + \sum_e \frac{S_{ie}}{\frac{d_{ie}}{\lambda_i}} (T_{iBe} - T_i) + \sum_d S_{id} \dot{q}_{id} + V_i \dot{Q}_i = 0$$

**CONN\_COEF**

CONN tot:

総コネクティビティ数  
(これを2倍すると非対角成分総数)

非対角成分の計算を実施している



係数行列の非対角成分

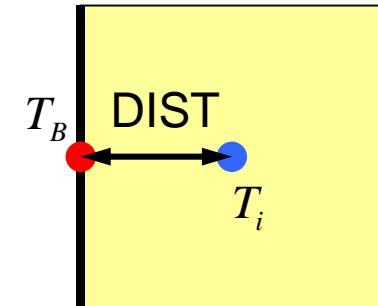
# 「eps\_fvm」処理: メッシュ読み込み (3/5)

## ディリクレ境界条件

```
!C
!C-- DIRICHLET
  read (IUNIT,'(10i10)') FIX_NODE_tot
  allocate (FIX_NODE_ID(FIX_NODE_tot), FIX_NODE_COEF(FIX_NODE_tot))
  allocate (FIX_NODE_VAL(FIX_NODE_tot))

  do i= 1, FIX_NODE_tot
    read (IUNIT, '(i10, 3e16.6)')
    &    FIX_NODE_ID(i), AREA, DIST, FIX_NODE_VAL(i): T_k
    icel= FIX_NODE_ID(i)
    COND= NODE_COND(icel)
    FIX_NODE_COEF(i)= AREA / (DIST/COND)
  enddo
```

AREA



&amp;

6    **ディリクレ境界条件を与える要素数: FIX\_NODE\_tot**

2	1.000000E+00	5.000000E-01	0.000000E+00
4	1.000000E+00	5.000000E-01	0.000000E+00
6	1.000000E+00	5.000000E-01	0.000000E+00
8	1.000000E+00	5.000000E-01	0.000000E+00
10	1.000000E+00	5.000000E-01	0.000000E+00
12	1.000000E+00	5.000000E-01	0.000000E+00

要素番号	境界面面積s	境界面と要素重心距離d	境界値T <sub>B</sub>
<b>FIX_NODE_ID(ib)</b>			<b>FIX_NODE_VAL(ib)</b>

$$\sum_k \frac{S_{ik}}{\frac{d_{ik}}{\lambda_i} + \frac{d_{ki}}{\lambda_k}} (T_k - T_i) + \sum_e \frac{S_{ie}}{\frac{d_{ie}}{\lambda_i}} (T_{iBe} - T_i) + \sum_d S_{id} \dot{q}_{id} + V_i \dot{Q}_i = 0$$

FIX\_NODE\_COEF

$$\sum_e \left[ \frac{S_{ie}}{d_{ie}} \frac{1}{\lambda_i} \right] (T_{iBe} - T_i)$$

FIX\_NODE\_VAL

# 「eps\_fvm」処理：メッシュ読み込み(4/5)

## ノイマン境界条件

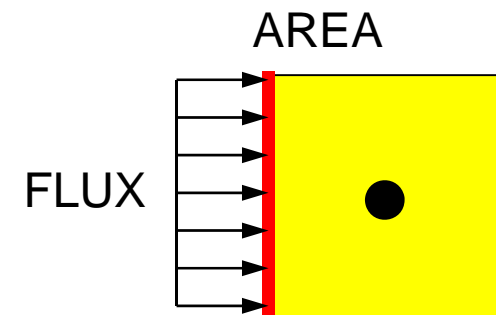
```
!C
!C-- NEUMANN
  read (IUNIT,'(10i10)') SURF_NODE_tot
  allocate
  & (SURF_NODE_ID (SURF_NODE_tot), SURF_NODE_FLUX(SURF_NODE_tot)) &

  do i= 1, SURF_NODE_tot
    read (IUNIT, '(i10, 3e16.6)') SURF_NODE_ID(i), AREA, FLUX
    SURF_NODE_FLUX(i)= AREA*FLUX
  enddo
```

6 ノイマン境界条件を与える要素数: SURF\_NODE\_tot

1	1.000000E+00	1.000000E+00
3	1.000000E+00	1.000000E+00
5	1.000000E+00	1.000000E+00
7	1.000000E+00	1.000000E+00
9	1.000000E+00	1.000000E+00
11	1.000000E+00	1.000000E+00

要素番号 境界表面積s 表面フラックスqs  
SURF\_NODE\_ID(ib)



$$\sum_k \frac{S_{ik}}{\frac{d_{ik}}{\lambda_i} + \frac{d_{ki}}{\lambda_k}} (T_k - T_i) + \sum_e \frac{S_{ie}}{\frac{d_{ie}}{\lambda_i}} (T_{iBe} - T_i) + \sum_d \boxed{S_{id} \dot{q}_{id}} + V_i \dot{Q}_i = 0$$

SURF\_NODE\_FLUX

# 「eps\_fvm」処理: メッシュ読み込み (5/5)

## 体積発熱

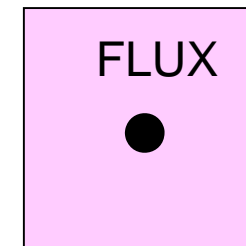
```
!C
!C-- BODY FLUX
  read (IUNIT,'(10i10)') BODY_NODE_tot

  allocate (BODY_NODE_FLUX(NODE_tot))
  do i= 1, BODY_NODE_tot
    read (IUNIT, '(i10, 3e16.6)') icel, FLUX
    BODY_NODE_FLUX(icel)= FLUX * NODE_VOL(icel)
  enddo
```

4	体積発熱を与える要素数
5	1.000000E+00
6	1.000000E+00
7	1.000000E+00
8	1.000000E+00
要素番号	体積フラックスqv

$$\sum_k \frac{S_{ik}}{\frac{d_{ik}}{\lambda_i} + \frac{d_{ki}}{\lambda_k}} (T_k - T_i) + \sum_e \frac{S_{ie}}{\frac{d_{ie}}{\lambda_i}} (T_{iBe} - T_i) + \sum_d S_{id} \dot{q}_{id} + \boxed{V_i \dot{Q}_i} = 0$$

**BODY\_NODE\_FLUX**



```
program eps_fvm
use eps_fvm_all

implicit REAL*8 (A-H,O-Z)

call eps_fvm_input_grid
call poi_gen
call eps_fvm_solver
call output_ucd

end program eps_fvm
```

メッシュ読み込み (#S-GRID)

マトリクス生成

線形ソルバー

AVS用結果ファイル書き出し (S-GRID-R-UCD)

# マトリクス関連変数表 (eps\_fvm\_pcg)

変数名	型	サイズ	内容
NPLU	I	-	連立一次方程式係数マトリクス非対角成分総数
D(:)	R	NODE_tot	連立一次方程式係数マトリクス対角成分
PHI(:)	R	NODE_tot	連立一次方程式未知数ベクトル
BFORCE(:)	R	NODE_tot	連立一次方程式右辺ベクトル
index(:)	I	0:NODE_tot	係数マトリクス非対角成分要素番号用一次元圧縮配列 (非対角成分数)
item(:)	I	NPLU	係数マトリクス非対角成分要素番号用一次元圧縮配列 (非対角成分要素 (列) 番号)
AMAT(:)	R	NPLU	係数マトリクス非対角成分要素番号用一次元圧縮配列 (非対角成分)

非零非対角成分のみを格納する  
Compressed Row Storage法を使用している。

# 行列ベクトル積への適用

(非零)非対角成分のみを格納, 疎行列向け方法  
Compressed Row Storage (CRS)

$D(i)$  対角成分(実数,  $i=1, N$ )  
 $index(i)$  非対角成分に関する一次元配列(通し番号)  
(整数,  $i=0, N$ )  
 $item(k)$  非対角成分の要素(列)番号  
(整数,  $k=1, index(N)$ )  
 $AMAT(k)$  非対角成分  
(実数,  $k=1, index(N)$ )

$$\{Y\} = [A] \{X\}$$

```
do i= 1, N
  Y(i)= D(i)*X(i)
  do k= index(i-1)+1, index(i)
    Y(i)= Y(i) + AMAT(k)*X(item(k))
  enddo
enddo
```



# 行列ベクトル積：密行列⇒とても簡単

$$\begin{bmatrix} a_{11} & a_{12} & \cdots & a_{1,N-1} & a_{1,N} \\ a_{21} & a_{22} & & a_{2,N-1} & a_{2,N} \\ \cdots & & \cdots & & \cdots \\ a_{N-1,1} & a_{N-1,2} & & a_{N-1,N-1} & a_{N-1,N} \\ a_{N,1} & a_{N,2} & \cdots & a_{N,N-1} & a_{N,N} \end{bmatrix} \begin{Bmatrix} x_1 \\ x_2 \\ \vdots \\ x_{N-1} \\ x_N \end{Bmatrix} = \begin{Bmatrix} y_1 \\ y_2 \\ \vdots \\ y_{N-1} \\ y_N \end{Bmatrix}$$

$$\{Y\} = [A] \{X\}$$

```
do j= 1, N
  Y(j)= 0. d0
  do i= 1, N
    Y(j)= Y(j) + A(i, j)*X(i)
  enddo
enddo
```

# Compressed Row Storage (CRS)

	1	2	3	4	5	6	7	8
1	1.1	2.4	0	0	3.2	0	0	0
2	4.3	3.6	0	2.5	0	3.7	0	9.1
3	0	0	5.7	0	1.5	0	3.1	0
4	0	4.1	0	9.8	2.5	2.7	0	0
5	3.1	9.5	10.4	0	11.5	0	4.3	0
6	0	0	6.5	0	0	12.4	9.5	0
7	0	6.4	2.5	0	0	1.4	23.1	13.1
8	0	9.5	1.3	9.6	0	3.1	0	51.3

# Compressed Row Storage (CRS)

	1	2	3	4	5	6	7	8
1	1.1 ①	2.4 ②			3.2 ⑤			
2	4.3 ①	3.6 ②		2.5 ④		3.7 ⑥		9.1 ⑧
3			5.7 ③		1.5 ⑤		3.1 ⑦	
4		4.1 ②		9.8 ④	2.5 ⑤	2.7 ⑥		
5	3.1 ①	9.5 ②	10.4 ③		11.5 ⑤		4.3 ⑦	
6			6.5 ③			12.4 ⑥	9.5 ⑦	
7		6.4 ②	2.5 ③			1.4 ⑥	23.1 ⑦	13.1 ⑧
8		9.5 ②	1.3 ③	9.6 ④		3.1 ⑥		51.3 ⑧

NODE\_tot= 8

対角成分

$$D(1) = 1.1$$

$$D(2) = 3.6$$

$$D(3) = 5.7$$

$$D(4) = 9.8$$

$$D(5) = 11.5$$

$$D(6) = 12.4$$

$$D(7) = 23.1$$

$$D(8) = 51.3$$

# Compressed Row Storage (CRS)

	①	②	③	④	⑤	⑥	⑦	⑧
①	1.1 ①		2.4 ②			3.2 ⑤		
②	3.6 ②	4.3 ①			2.5 ④		3.7 ⑥	9.1 ⑧
③	5.7 ③					1.5 ⑤		3.1 ⑦
④	9.8 ④		4.1 ②			2.5 ⑤	2.7 ⑥	
⑤	11.5 ⑤	3.1 ①	9.5 ②	10.4 ③				4.3 ⑦
⑥	12.4 ⑥			6.5 ③				9.5 ⑦
⑦	23.1 ⑦		6.4 ②	2.5 ③			1.4 ⑥	13.1 ⑧
⑧	51.3 ⑧		9.5 ②	1.3 ③	9.6 ④		3.1 ⑥	

# Compressed Row Storage (CRS)

						非対角 成分数	
①	1.1 ①	2.4 ②	3.2 ⑤			2	$\text{index}(0) = 0$
②	3.6 ②	4.3 ①	2.5 ④	3.7 ⑥	9.1 ⑧	4	$\text{index}(1) = 2$
③	5.7 ③	1.5 ⑤	3.1 ⑦			2	$\text{index}(2) = 6$
④	9.8 ④	4.1 ②	2.5 ⑤	2.7 ⑥		3	$\text{index}(3) = 8$
⑤	11.5 ⑤	3.1 ①	9.5 ②	10.4 ③	4.3 ⑦	4	$\text{index}(4) = 11$
⑥	12.4 ⑥	6.5 ③	9.5 ⑦			2	$\text{index}(5) = 15$
⑦	23.1 ⑦	6.4 ②	2.5 ③	1.4 ⑥	13.1 ⑧	4	$\text{index}(6) = 17$
⑧	51.3 ⑧	9.5 ②	1.3 ③	9.6 ④	3.1 ⑥	4	$\text{index}(7) = 21$
							$\text{index}(8) = 25$

**NPLU= 25**  
**(=index(N))**

$\text{index}(i-1)+1 \sim \text{index}(i)$  番目が  $i$  行目の非対角成分

# Compressed Row Storage (CRS)

	非対角 成分数						
①	1.1 ①	2.4 ②,1	3.2 ⑤,2			2	index(0)= 0
②	3.6 ②	4.3 ①,3	2.5 ④,4	3.7 ⑥,5	9.1 ⑧,6	4	index(1)= 2
③	5.7 ③	1.5 ⑤,7	3.1 ⑦,8			2	<u>index(2)= 6</u>
④	9.8 ④	4.1 ②,9	2.5 ⑤,10	2.7 ⑥,11		3	<u>index(3)= 8</u>
⑤	11.5 ⑤	3.1 ①,12	9.5 ②,13	10.4 ③,14	4.3 ⑦,15	4	index(4)= 11
⑥	12.4 ⑥	6.5 ③,16	9.5 ⑦,17			4	index(5)= 15
⑦	23.1 ⑦	6.4 ②,18	2.5 ③,19	1.4 ⑥,20	13.1 ⑧,21	2	index(6)= 17
⑧	51.3 ⑧	9.5 ②,22	1.3 ③,23	9.6 ④,24	3.1 ⑥,25	4	index(7)= 21
							index(8)= 25

NPLU= 25  
(=index(N))

$\text{index}(i-1)+1 \sim \text{index}(i)$  番目が  $i$  行目の非対角成分

# Compressed Row Storage (CRS)

1	1.1 ①	2.4 ②,1	3.2 ⑤,2		
2	3.6 ②	4.3 ①,3	2.5 ④,4	3.7 ⑥,5	9.1 ⑧,6
3	5.7 ③	1.5 ⑤,7	3.1 ⑦,8		
4	9.8 ④	4.1 ②,9	2.5 ⑤,10	2.7 ⑥,11	
5	11.5 ⑤	3.1 ①,12	9.5 ②,13	10.4 ③,14	4.3 ⑦,15
6	12.4 ⑥	6.5 ③,16	9.5 ⑦,17		
7	23.1 ⑦	6.4 ②,18	2.5 ③,19	1.4 ⑥,20	13.1 ⑧,21
8	51.3 ⑧	9.5 ②,22	1.3 ③,23	9.6 ④,24	3.1 ⑥,25

例:

`item( 7) = 5, AMAT( 7) = 1.5`

`item(19) = 3, AMAT(19) = 2.5`

# Compressed Row Storage (CRS)

1	1.1 ①	2.4 ②,1	3.2 ⑤,2		
2	3.6 ②	4.3 ①,3	2.5 ④,4	3.7 ⑥,5	9.1 ⑧,6
3	5.7 ③	1.5 ⑤,7	3.1 ⑦,8		
4	9.8 ④	4.1 ②,9	2.5 ⑤,10	2.7 ⑥,11	
5	11.5 ⑤	3.1 ①,12	9.5 ②,13	10.4 ③,14	4.3 ⑦,15
6	12.4 ⑥	6.5 ③,16	9.5 ⑦,17		
7	23.1 ⑦	6.4 ②,18	2.5 ③,19	1.4 ⑥,20	13.1 ⑧,21
8	51.3 ⑧	9.5 ②,22	1.3 ③,23	9.6 ④,24	3.1 ⑥,25

$D(i)$  対角成分(実数,  $i=1, N$ )  
 $index(i)$  非対角成分に関する一次元配列  
 (通し番号)(整数,  $i=0, N$ )  
 $item(k)$  非対角成分の要素(列)番号  
 (整数,  $k=1, index(N)$ )  
 $AMAT(k)$  非対角成分  
 (実数,  $k=1, index(N)$ )

$$\{Y\} = [A] \{X\}$$

```

do i= 1, N
  Y(i)= D(i)*X(i)
  do k= index(i-1)+1, index(i)
    Y(i)= Y(i) + AMAT(k)*X(item(k))
  enddo
enddo
  
```



# 「eps\_fvm」処理: マトリクス生成 (1/5)

```
!C
!C***
!C*** POI_GEN
!C***
!C
!C   generate COEF. MATRIX for POISSON equations
!C
      subroutine POI_GEN

      use eps_fvm_all
      implicit REAL*8 (A-H,O-Z)
      integer, pointer :: IWKX(:, :)

!C
!C +-----+
!C |  INIT.  |
!C +-----+
!C===

!C
!C-- MATRIX
      nn = NODE_tot

      allocate (BFORCE(nn), D(nn), PHI(nn))
      allocate (index(0:nn))

      BFORCE= 0.d0
      PHI= 0.d0
      D= 0.d0

      index= 0
```

# 「eps\_fvm」処理: マトリクス生成 (2/5)

```
!C
!C-- ETC.
  allocate (IWKX(NODE_tot,6))
  IWKX= 0

  do ic= 1, CONN_tot
    in1= CONN_NODE(2*ic-1)
    in2= CONN_NODE(2*ic )

    ik1= index(in1) + 1
    IWKX (in1,ik1)= ic
    index(in1      )= ik1

    ik2= index(in2) + 1
    IWKX (in2,ik2)= ic
    index(in2      )= ik2
  enddo

  do i= 1, nn
    index(i)= index(i-1) + index(i)
  enddo

  NPLU= index(nn)

  allocate (item(NPLU), AMAT(NPLU))
```

(非零)非対角成分算出  
(非零)非対角成分抽出

**index(in):**  
各要素の非対角成分  
(通し番号)

**IWKX(in,1-6):**  
各要素の非対角成分の  
コネクティビティID  
(CONN\_NODE)

非対角要素数を増やした場合は  
IWKXのサイズを増やせばよい  
(現在は隣接要素数が6までに限  
定されている)

# 「eps\_fvm」処理: マトリクス生成 (2/5)

```
!C
!C-- ETC.
  allocate (IWKX(NODE_tot,6))
  IWKX= 0

  do ic= 1, CONN_tot
    in1= CONN_NODE(2*ic-1)
    in2= CONN_NODE(2*ic )

    ik1= index(in1) + 1
    IWKX (in1,ik1)= ic
    index(in1      )= ik1

    ik2= index(in2) + 1
    IWKX (in2,ik2)= ic
    index(in2      )= ik2
  enddo

  do i= 1, nn
    index(i)= index(i-1) + index(i)
  enddo

  NPLU= index(nn)

  allocate (item(NPLU), AMAT(NPLU))
```

**index(in):**  
各要素の非対角成分数  
(通し番号)

**NPLU:**  
(非零)非対角成分の総数

# 「eps\_fvm」処理: マトリクス生成 (3/5)

```

do i= 1, NODE_tot
  do j= 1, index(i)-index(i-1)
    k= index(i-1) + j

    ic = IWKX(i,j)
    in1= CONN_NODE(2*ic-1)
    in2= CONN_NODE(2*ic )

    if (in1.eq.i) then
      item(k)= in2
    else
      item(k)= in1
    endif
  enddo
enddo

!C==

!C
!C +-----+
!C | INTERIOR NODEs + BODY FLUX |
!C +-----+
!C==

do icel= 1, NODE_tot
  BFORCE(icel)= BFORCE(icel) + BODY_NODE_FLUX(icel)
enddo

do i= 1, NODE_tot
  do j= index(i-1)+1, index(i)
    icon= IWKX(i,j-index(i-1))
    AMAT(j)= -CONN_COEF(icon)
    D      (i)= D(i) + CONN_COEF(icon)
  enddo
enddo
deallocate (IWKX)

!C==

```

**index(in):**

各要素の非対角成分数  
(通し番号)

**IWKX(in,1-6):**

各要素の非対角成分の  
コネクティビティID  
(CONN\_NODE)

**item(k):**

非対角成分(列番号)

# 有限体積法による空間離散化

## 熱流束に関するつりあい式

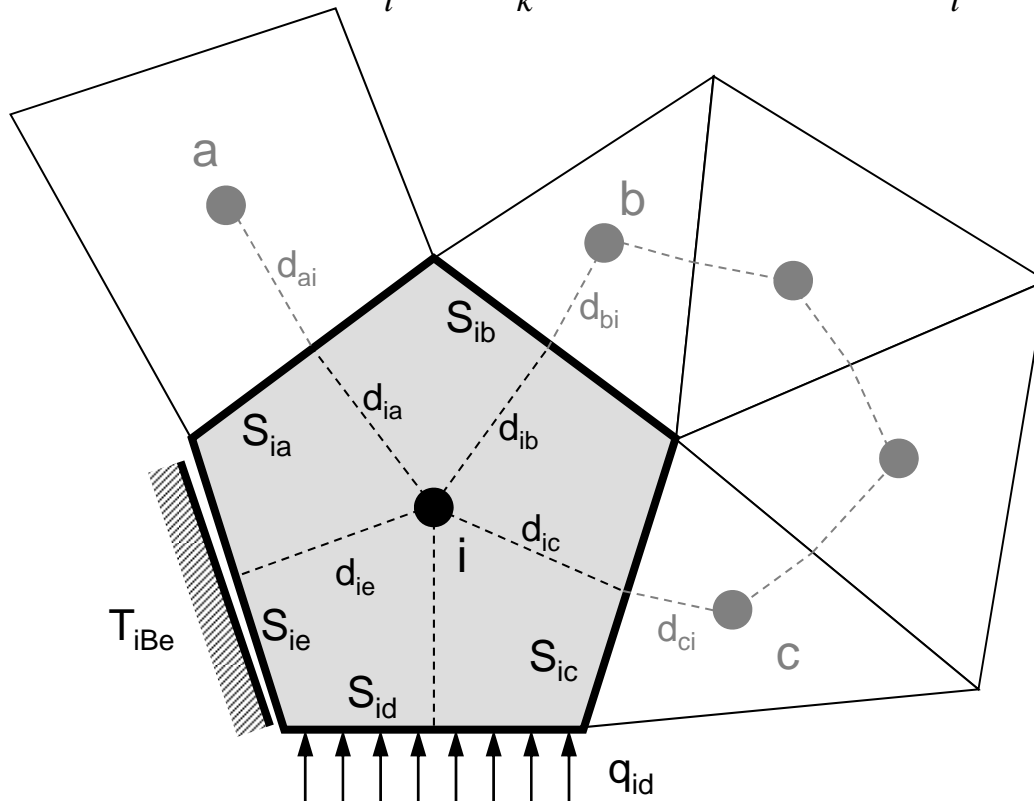
隣接要素との熱伝導

温度固定境界

$$\sum_k \frac{S_{ik}}{\frac{d_{ik}}{\lambda_i} + \frac{d_{ki}}{\lambda_k}} (T_k - T_i) + \sum_e \frac{S_{ie}}{\frac{d_{ie}}{\lambda_i}} (T_{iBe} - T_i) + \sum_d S_{id} \dot{q}_{id} + V_i \dot{Q}_i = 0$$

要素境界面  
通過熱流束

体積発熱



- $\lambda$  : 熱伝導率
- $V_i$  : 要素体積
- $S$  : 表面面積
- $d_{ij}$  : 要素中心から表面までの距離
- $q$  : 表面フラックス
- $Q$  : 体積発熱
- $T_{iB}$  : 境界温度

# 全体マトリクスの生成

## 要素iに関する釣り合い

$$\sum_k \frac{S_{ik}}{\frac{d_{ik}}{\lambda_i} + \frac{d_{ki}}{\lambda_k}} (T_k - T_i) + \sum_e \frac{S_{ie}}{\frac{d_{ie}}{\lambda_i}} (T_{iBe} - T_i) + \sum_d S_{id} \dot{q}_{id} + V_i \dot{Q}_i = 0$$

隣接要素との熱伝導

温度固定境界

要素境界面  
通過熱流束

体積  
発熱

# 全体マトリクスの生成

## 要素*i*に関する釣り合い

$$-\sum_k \frac{S_{ik}}{\frac{d_{ik}}{\lambda_i} + \frac{d_{ki}}{\lambda_k}} (T_k - T_i) - \sum_e \frac{S_{ie}}{\frac{d_{ie}}{\lambda_i}} (T_{iBe} - T_i) - \sum_d S_{id} \dot{q}_{id} - V_i \dot{Q}_i = 0$$

隣接要素との熱伝導

温度固定境界

要素境界面  
通過熱流束

体積  
発熱

# 全体マトリクスの生成

## 要素*i*に関する釣り合い

$$-\sum_k \frac{S_{ik}}{\frac{d_{ik}}{\lambda_i} + \frac{d_{ki}}{\lambda_k}} (T_k - T_i) - \sum_e \frac{S_{ie}}{\frac{d_{ie}}{\lambda_i}} (T_{iBe} - T_i) - \sum_d S_{id} \dot{q}_{id} - V_i \dot{Q}_i = 0$$

$$-\sum_k \frac{S_{ik}}{\frac{d_{ik}}{\lambda_i} + \frac{d_{ki}}{\lambda_k}} T_k + \sum_k \frac{S_{ik}}{\frac{d_{ik}}{\lambda_i} + \frac{d_{ki}}{\lambda_k}} T_i - \sum_e \frac{S_{ie}}{\frac{d_{ie}}{\lambda_i}} T_{iBe} + \sum_e \frac{S_{ie}}{\frac{d_{ie}}{\lambda_i}} T_i = \sum_d S_{id} \dot{q}_{id} + V_i \dot{Q}_i$$

定数項: 右辺へ移項



# 全体マトリクスの生成

## 要素iに関する釣り合い

$$-\sum_k \frac{S_{ik}}{\frac{d_{ik}}{\lambda_i} + \frac{d_{ki}}{\lambda_k}} (T_k - T_i) - \sum_e \frac{S_{ie}}{\frac{d_{ie}}{\lambda_i}} (T_{iBe} - T_i) - \sum_d S_{id} \dot{q}_{id} - V_i \dot{Q}_i = 0$$

$$-\sum_k \frac{S_{ik}}{\frac{d_{ik}}{\lambda_i} + \frac{d_{ki}}{\lambda_k}} T_k + \sum_k \frac{S_{ik}}{\frac{d_{ik}}{\lambda_i} + \frac{d_{ki}}{\lambda_k}} T_i - \sum_e \frac{S_{ie}}{\frac{d_{ie}}{\lambda_i}} T_{iBe} + \sum_e \frac{S_{ie}}{\frac{d_{ie}}{\lambda_i}} T_i = \sum_d S_{id} \dot{q}_{id} + V_i \dot{Q}_i$$

$$\left[ \sum_k \frac{S_{ik}}{\frac{d_{ik}}{\lambda_i} + \frac{d_{ki}}{\lambda_k}} + \sum_e \frac{S_{ie}}{\frac{d_{ie}}{\lambda_i}} \right] T_i - \left[ \sum_k \frac{S_{ik}}{\frac{d_{ik}}{\lambda_i} + \frac{d_{ki}}{\lambda_k}} T_k \right] = \sum_d S_{id} \dot{q}_{id} + V_i \dot{Q}_i + \sum_e \frac{S_{ie}}{\frac{d_{ie}}{\lambda_i}} T_{iBe}$$

**D(対角成分)**

**AMAT(非対角成分)**

**BFORCE(右辺)**

# 「eps\_fvm」処理: マトリクス生成 (3/5)

## 体積発熱

```

do i= 1, NODE_tot
  do j= 1, index(i)-index(i-1)
    k= index(i-1) + j

    ic = IWKX(i,j)
    in1= CONN_NODE(2*ic-1)
    in2= CONN_NODE(2*ic )

    if (in1.eq.i) then
      item(k)= in2
    else
      item(k)= in1
    endif
  enddo
enddo !C==

```

```

!C
!C +-----+
!C | INTERIOR NODEs + BODY FLUX |
!C +-----+
!C==

```

```

do icel= 1, NODE_tot
  BFORCE(icel)= BFORCE(icel) + BODY_NODE_FLUX(icel)
enddo

```

```

do i= 1, NODE_tot
  do j= index(i-1)+1, index(i)
    icon= IWKX(i,j-index(i-1))
    AMAT(j)= -CONN_COEF(icon)
    D (i)= D(i) + CONN_COEF(icon)
  enddo
enddo
deallocate (IWKX)

```

```
!C==
```

$$\left[ \sum_k \frac{S_{ik}}{\frac{d_{ik}}{\lambda_i} + \frac{d_{ki}}{\lambda_k}} + \sum_e \frac{S_{ie}}{\frac{d_{ie}}{\lambda_i}} \right] T_i - \left[ \sum_k \frac{S_{ik}}{\frac{d_{ik}}{\lambda_i} + \frac{d_{ki}}{\lambda_k}} T_k \right]$$

$$= \sum_d S_{id} \dot{q}_{id} + \underline{V_i \dot{Q}_i} + \sum_e \frac{S_{ie}}{\frac{d_{ie}}{\lambda_i}} T_{iBe}$$

**BODY\_NODE\_FLUX**

**BFORCE(右辺)**

# 「eps\_fvm」処理: マトリクス生成 (3/5)

## 内部熱伝導

```

do i= 1, NODE_tot
  do j= 1, index(i)-index(i-1)
    k= index(i-1) + j

    ic = IWKX(i,j)
    in1= CONN_NODE(2*ic-1)
    in2= CONN_NODE(2*ic )

    if (in1.eq.i) then
      item(k)= in2
    else
      item(k)= in1
    endif
  enddo
enddo !C==

```

```

!C
!C +-----+
!C | INTERIOR NODEs + BODY FLUX |
!C +-----+
!C==

```

```

do icel= 1, NODE_tot
  BFORCE(icel)= BFORCE(icel) + BODY_NODE_FLUX(icel)
enddo

```

```

do i= 1, NODE_tot
  do j= index(i-1)+1, index(i)
    icon= IWKX(i,j-index(i-1))
    AMAT(j)= -CONN_COEF(icon)
    D      (i)= D(i) + CONN_COEF(icon)
  enddo
enddo
deallocate (IWKX)

```

```
!C==
```

D (対角成分)

AMAT (非対角成分)

$$\left[ \sum_k \frac{S_{ik}}{\frac{d_{ik}}{\lambda_i} + \frac{d_{ki}}{\lambda_k}} + \sum_e \frac{S_{ie}}{d_{ie}} \right] T_i - \left[ \sum_k \frac{S_{ik}}{\frac{d_{ik}}{\lambda_i} + \frac{d_{ki}}{\lambda_k}} T_k \right]$$

CONN\_COEF

CONN\_COEF

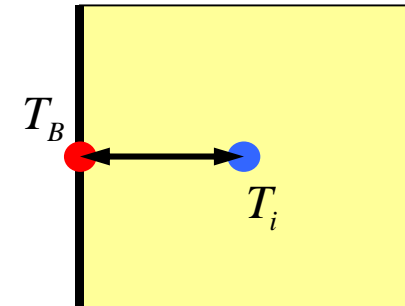
$$= \sum_d S_{id} \dot{q}_{id} + V_i \dot{Q}_i + \sum_e \frac{S_{ie}}{\frac{d_{ie}}{\lambda_i}} T_{iBe}$$

# 「eps\_fvm」処理: マトリクス生成 (4/5)

## ディリクレ境界条件 (表面温度固定)

```
!C
!C +-----+
!C | DIRICHLET |
!C +-----+
!C==
do i= 1, FIX_NODE_tot
  icel= FIX_NODE_ID(i)
  D      (icel)= D      (icel) + FIX_NODE_COEF(i)
  BFORCE(icel)= BFORCE(icel) + FIX_NODE_COEF(i)*FIX_NODE_VAL(i)
enddo
!C==
```

$$\begin{aligned}
 & \left[ \sum_k \frac{S_{ik}}{\frac{d_{ik}}{\lambda_i} + \frac{d_{ki}}{\lambda_k}} + \sum_e \frac{S_{ie}}{\frac{d_{ie}}{\lambda_i}} \right] T_i - \left[ \sum_k \frac{S_{ik}}{\frac{d_{ik}}{\lambda_i} + \frac{d_{ki}}{\lambda_k}} T_k \right] \\
 & \quad \text{D(対角成分)} \quad \text{FIX\_NODE\_COEF} \\
 & = \sum_d S_{id} \dot{q}_{id} + V_i \dot{Q}_i + \sum_e \frac{S_{ie}}{\frac{d_{ie}}{\lambda_i}} T_{iBe} \quad \text{BFORCE(右辺)} \\
 & \quad \text{FIX\_NODE\_COEF * FIX\_NODE\_VAL}
 \end{aligned}$$



# 「eps\_fvm」処理: マトリクス生成 (5/5)

## ノイマン境界条件 (表面熱流束)

```
!C
!C +-----+
!C | SURFACE FLUX |
!C +-----+
!C===
      do i= 1, SURF_NODE_tot
        icel= SURF_NODE_ID(i)
        BFORCE(icel)= BFORCE(icel) + SURF_NODE_FLUX(i)
      enddo
!C===
      return
      end
```

$$\begin{aligned}
 & \left[ \sum_k \frac{S_{ik}}{\frac{d_{ik}}{\lambda_i} + \frac{d_{ki}}{\lambda_k}} + \sum_e \frac{S_{ie}}{\frac{d_{ie}}{\lambda_i}} \right] T_i - \left[ \sum_k \frac{S_{ik}}{\frac{d_{ik}}{\lambda_i} + \frac{d_{ki}}{\lambda_k}} T_k \right] \\
 &= \underbrace{\sum_d S_{id} \dot{q}_{id}}_{\text{SURF\_NODE\_FLUX}} + V_i \dot{Q}_i + \sum_e \frac{S_{ie}}{\frac{d_{ie}}{\lambda_i}} T_{iBe} \quad \text{BFORCE(右辺)}
 \end{aligned}$$

```
program eps_fvm
use eps_fvm_all

implicit REAL*8 (A-H,O-Z)

call eps_fvm_input_grid
call poi_gen
call eps_fvm_solver
call output_ucd

end program eps_fvm
```

メッシュ読み込み (#S-GRID)

マトリクス生成

**線形ソルバー**

AVS用結果ファイル書き出し (S-GRID-R-UCD)

# 「eps\_fvm」処理: ソルバー

```
subroutine eps_fvm_solver

use eps_fvm_all
implicit REAL*8 (A-H,O-Z)

EPS = 1.d-8
ITR = NODE_tot

call eps_fvm_solver_CG                                &
&    ( NODE_tot, NPLU, D, BFORCE, PHI, EPS,           &
&    ITR, IER, index, item, AMAT, COMMtime)
ISET= ISET + 1

open (11, file='fvmmg.ctrl', status='unknown')
  read (11,*) NX, NY, NZ
close (11)

iS= NX*NY*NZ/2 + NX*NY/2
do i= iS+1, iS+NX
  write (*,'(i8,3(1p16.6))') i, PHI(i)
enddo

end subroutine eps_fvm_solver
```

# 科学技術計算における 大規模線形方程式の解法

- 多くの科学技術計算は、最終的に大規模線形方程式  $Ax=b$  を解くことに帰着される。
  - important, expensive
- アプリケーションに応じて様々な手法が提案されている
  - 疎行列 (sparse), 密行列 (dense)
  - 直接法 (direct), 反復法 (iterative)
- 密行列 (dense)
  - グローバルな相互作用: BEM, スペクトル法, MO, MD (気液)
- 疎行列 (sparse)
  - ローカルな相互作用: FEM, FDM, MD (固), 高速多重極展開付 BEM



# 直接法 (Direct Method)

- Gaussの消去法, 完全LU分解
  - 逆行列 $A^{-1}$ を直接求める
- 利点
  - 安定, 幅広いアプリケーションに適用可能
    - Partial Pivoting
  - 疎行列, 密行列いずれにも適用可能
- 欠点
  - 反復法よりもメモリ, 計算時間を必要とする
    - 密行列の場合,  $O(N^3)$ の計算量
  - 大規模な計算向けではない
    - $O(N^2)$ の記憶容量,  $O(N^3)$ の計算量

# 反復法 (Iterative Method)

- 定常 (stationary) 法
  - 反復計算中, 解ベクトル以外の変数は変化せず
  - SOR, Gauss-Seidel, Jacobiなど
  - 概して遅い
- 非定常 (nonstationary) 法
  - 拘束, 最適化条件が加わる
  - Krylov部分空間 (subspace) への写像を基底として使用するため, Krylov部分空間法とも呼ばれる
  - CG (Conjugate Gradient: 共役勾配法)
  - BiCGSTAB (Bi-Conjugate Gradient Stabilized)
  - GMRES (Generalized Minimal Residual)

# 反復法 (Iterative Method) (続き)

- 利点
  - 直接法と比較して, メモリ使用量, 計算量が少ない。
  - 並列計算には適している。
- 欠点
  - 収束性が, アプリケーション, 境界条件の影響を受けやすい。
  - 前処理 (preconditioning) が重要。

# 代表的な反復法：共役勾配法

- Conjugate Gradient法, 略して「CG」法
  - 最も代表的な「非定常」反復法
- 対称正定値行列 (Symmetric Positive Definite: SPD) 向け
  - 任意のベクトル  $\{x\}$  に対して  $\{x\}^T [A] \{x\} > 0$
  - 全対角成分  $> 0$ , 全固有値  $> 0$ , 全部分行列式  $> 0$  と同値
  - 熱伝導, 弾性, ねじり... 本コードの場合もSPD
- アルゴリズム
  - 最急降下法 (Steepest Descent Method) の変種
  - $\mathbf{x}^{(i)} = \mathbf{x}^{(i-1)} + \alpha_i \mathbf{p}^{(i)}$ 
    - $\mathbf{x}^{(i)}$ : 反復解,  $\mathbf{p}^{(i)}$ : 探索ベクトル,  $\alpha_i$ : 定数
  - 厳密解を  $y$  とするとき  $\{x-y\}^T [A] \{x-y\}$  を最小とするような  $\{x\}$  を求める。
  - 詳細は例えば: 森正武「数値解析(第2版)」(共立出版)

# 共役勾配法のアルゴリズム

```

Compute  $r^{(0)} = b - [A]x^{(0)}$ 
for  $i = 1, 2, \dots$ 
     $z^{(i-1)} = r^{(i-1)}$ 
     $\rho_{i-1} = r^{(i-1)} z^{(i-1)}$ 
    if  $i = 1$ 
         $p^{(1)} = z^{(0)}$ 
    else
         $\beta_{i-1} = \rho_{i-1} / \rho_{i-2}$ 
         $p^{(i)} = z^{(i-1)} + \beta_{i-1} p^{(i-1)}$ 
    endif
     $q^{(i)} = [A]p^{(i)}$ 
     $\alpha_i = \rho_{i-1} / p^{(i)} q^{(i)}$ 
     $x^{(i)} = x^{(i-1)} + \alpha_i p^{(i)}$ 
     $r^{(i)} = r^{(i-1)} - \alpha_i q^{(i)}$ 
    check convergence  $|r|$ 
end

```

- 行列ベクトル積
- ベクトル内積
- ベクトル定数倍の加減

$x^{(i)}$  : ベクトル

$\alpha_i$  : スカラー

# 共役勾配法のアルゴリズム

```

Compute  $r^{(0)} = b - [A]x^{(0)}$ 
for i = 1, 2, ...
     $z^{(i-1)} = r^{(i-1)}$ 
     $\rho_{i-1} = r^{(i-1)} z^{(i-1)}$ 
    if i = 1
         $p^{(1)} = z^{(0)}$ 
    else
         $\beta_{i-1} = \rho_{i-1} / \rho_{i-2}$ 
         $p^{(i)} = z^{(i-1)} + \beta_{i-1} p^{(i-1)}$ 
    endif
     $q^{(i)} = [A]p^{(i)}$ 
     $\alpha_i = \rho_{i-1} / p^{(i)} q^{(i)}$ 
     $x^{(i)} = x^{(i-1)} + \alpha_i p^{(i)}$ 
     $r^{(i)} = r^{(i-1)} - \alpha_i q^{(i)}$ 
    check convergence  $|r|$ 
end

```

- 行列ベクトル積
- ベクトル内積
- ベクトル定数倍の加減

$x^{(i)}$  : ベクトル

$\alpha_i$  : スカラー

# 共役勾配法のアルゴリズム

```

Compute  $r^{(0)} = b - [A]x^{(0)}$ 
for  $i = 1, 2, \dots$ 
     $z^{(i-1)} = r^{(i-1)}$ 
     $\rho_{i-1} = r^{(i-1)} z^{(i-1)}$ 
    if  $i = 1$ 
         $p^{(1)} = z^{(0)}$ 
    else
         $\beta_{i-1} = \rho_{i-1} / \rho_{i-2}$ 
         $p^{(i)} = z^{(i-1)} + \beta_{i-1} p^{(i-1)}$ 
    endif
     $q^{(i)} = [A]p^{(i)}$ 
     $\alpha_i = \rho_{i-1} / p^{(i)} q^{(i)}$ 
     $x^{(i)} = x^{(i-1)} + \alpha_i p^{(i)}$ 
     $r^{(i)} = r^{(i-1)} - \alpha_i q^{(i)}$ 
    check convergence  $|r|$ 
end

```

- 行列ベクトル積
- ベクトル内積
- ベクトル定数倍の加減

$x^{(i)}$  : ベクトル

$\alpha_i$  : スカラー

# 共役勾配法のアルゴリズム

```

Compute  $r^{(0)} = b - [A]x^{(0)}$ 
for  $i = 1, 2, \dots$ 
     $z^{(i-1)} = r^{(i-1)}$ 
     $\rho_{i-1} = r^{(i-1)} z^{(i-1)}$ 
    if  $i = 1$ 
         $p^{(1)} = z^{(0)}$ 
    else
         $\beta_{i-1} = \rho_{i-1} / \rho_{i-2}$ 
         $p^{(i)} = z^{(i-1)} + \beta_{i-1} p^{(i-1)}$ 
    endif
     $q^{(i)} = [A]p^{(i)}$ 
     $\alpha_i = \rho_{i-1} / p^{(i)} q^{(i)}$ 
     $x^{(i)} = x^{(i-1)} + \alpha_i p^{(i)}$ 
     $r^{(i)} = r^{(i-1)} - \alpha_i q^{(i)}$ 
    check convergence  $|r|$ 
end

```

- 行列ベクトル積
- ベクトル内積
- ベクトル定数倍の加減 (DAXPY)

$x^{(i)}$  : ベクトル

$\alpha_i$  : スカラー



# 前処理 (preconditioning) とは？

- 反復法の収束は係数行列の固有値分布に依存
  - 固有値分布が少なく, かつ1に近いほど収束が早い(単位行列)
  - 条件数(condition number)(対称正定) = 最大最小固有値比
    - 条件数が1に近いほど収束しやすい
- もとの係数行列  $[A]$  に良く似た前処理行列  $[M]$  を適用することによって固有値分布を改善する。
  - 前処理行列  $[M]$  によって元の方程式  $[A] \{x\} = \{b\}$  を  $[A'] \{x'\} = \{b'\}$  へと変換する。ここで  $[A'] = [M]^{-1} [A]$ ,  $\{b'\} = [M]^{-1} \{b\}$  である。
  - $[A'] = [M]^{-1} [A]$  が単位行列に近ければ良いことになる。  
 $[A'] = [A] [M]^{-1}$  のように右から乗ずることもある
- 「前処理」は密行列, 疎行列ともに使用するが, 普通は疎行列を対象にすることが多い。

# 前処理付き共役勾配法のアルゴリズム

```
Compute  $r^{(0)} = b - [A]x^{(0)}$ 
for  $i = 1, 2, \dots$ 
    solve  $[M]z^{(i-1)} = r^{(i-1)}$ 
     $\rho_{i-1} = r^{(i-1)} z^{(i-1)}$ 
    if  $i=1$ 
         $p^{(1)} = z^{(0)}$ 
    else
         $\beta_{i-1} = \rho_{i-1} / \rho_{i-2}$ 
         $p^{(i)} = z^{(i-1)} + \beta_{i-1} p^{(i-1)}$ 
    endif
     $q^{(i)} = [A]p^{(i)}$ 
     $\alpha_i = \rho_{i-1} / p^{(i)} q^{(i)}$ 
     $x^{(i)} = x^{(i-1)} + \alpha_i p^{(i)}$ 
     $r^{(i)} = r^{(i-1)} - \alpha_i q^{(i)}$ 
    check convergence  $|r|$ 
end
```

# 前処理付共役勾配法

## Preconditioned Conjugate Gradient Method (PCG)

```

Compute  $r^{(0)} = b - [A]x^{(0)}$ 
for i = 1, 2, ...
    solve  $[M]z^{(i-1)} = r^{(i-1)}$ 
     $\rho_{i-1} = r^{(i-1)} z^{(i-1)}$ 
    if i = 1
         $p^{(1)} = z^{(0)}$ 
    else
         $\beta_{i-1} = \rho_{i-1} / \rho_{i-2}$ 
         $p^{(i)} = z^{(i-1)} + \beta_{i-1} z^{(i-1)}$ 
    endif
     $q^{(i)} = [A]p^{(i)}$ 
     $\alpha_i = \rho_{i-1} / p^{(i)} q^{(i)}$ 
     $x^{(i)} = x^{(i-1)} + \alpha_i p^{(i)}$ 
     $r^{(i)} = r^{(i-1)} - \alpha_i q^{(i)}$ 
    check convergence  $|r|$ 
end

```

実際にやるべき計算は:

$$\{z\} = [M]^{-1} \{r\}$$

「近似逆行列」の計算が必要:

$$[M]^{-1} \approx [A]^{-1}, \quad [M] \approx [A]$$

究極の前処理: 本当の逆行列

$$[M]^{-1} = [A]^{-1}, \quad [M] = [A]$$

対角スケーリング: 簡単 = 弱い

$$[M]^{-1} = [D]^{-1}, \quad [M] = [D]$$

# ILU(0), IC(0)

- 最もよく使用されている前処理（疎行列用）
  - 不完全LU分解
    - Incomplete LU Factorization
  - 不完全コレスキー分解
    - Incomplete Cholesky Factorization（対称行列）
- 不完全な直接法
  - もとの行列が疎でも、逆行列は疎とは限らない。
  - fill-in
  - もとの行列と同じ非ゼロパターン（fill-in無し）を持っているのがILU(0), IC(0)

# 対角スケーリング, 点ヤコビ前処理

- 前処理行列として, もとの行列の対角成分のみを取り出した行列を前処理行列  $[M]$  とする。
  - 対角スケーリング, 点ヤコビ (point-Jacobi) 前処理

$$[M] = \begin{bmatrix} D_1 & 0 & \dots & 0 & 0 \\ 0 & D_2 & & 0 & 0 \\ \dots & & \dots & & \dots \\ 0 & 0 & & D_{N-1} & 0 \\ 0 & 0 & \dots & 0 & D_N \end{bmatrix}$$

- **solve  $[M]z^{(i-1)} = r^{(i-1)}$**  という場合に逆行列を簡単に求めることができる。
- 簡単な問題では収束する。

# 「eps\_fvm」処理: ソルバー(1/7)

```
!C
!C***
!C*** CG
!C***
!C
      subroutine eps_fvm_solver_CG                                &
&          ( N, NPLU, D, B, X, EPS, ITR, IER,                    &
&          index, item, COEF)

      use eps_fvm_util
      implicit REAL*8 (A-H,O-Z)

      real(kind=kreal), dimension(N) :: D
      real(kind=kreal), dimension(N) :: B
      real(kind=kreal), dimension(N) :: X

      integer          , dimension(0:N) :: index
      integer          , dimension(NPLU):: item
      real   (kind=kreal), dimension(NPLU):: COEF

      real(kind=kreal) :: EPS

      integer :: ITR, IER
      integer :: P, Q, R, Z, DD

      real(kind=kreal), dimension(:,:), allocatable, save :: W
```

# 「eps\_fvm」処理: ソルバー (2/7)

```
!C
!C +-----+
!C |  INIT.  |
!C +-----+
!C==
      if (.not.allocated(W)) then
        allocate (W(N,4))
      endif

      X= 0.d0
      W= 0.d0

      R = 1
      Z = 2
      Q = 2
      P = 3
      DD= 4

      do i= 1, N
        W(i,DD)= 1.0D0 / D(i)
      enddo
```

$W(i, 1) = W(i, R) \Rightarrow \{r\}$   
 $W(i, 2) = W(i, Z) \Rightarrow \{z\}$   
 $W(i, 2) = W(i, Q) \Rightarrow \{q\}$   
 $W(i, 3) = W(i, P) \Rightarrow \{p\}$

$W(i, 4) = W(i, DD) \Rightarrow 1/DIAG$

```
Compute  $r^{(0)} = b - [A]x^{(0)}$ 
for i= 1, 2, ...
  solve  $[M]z^{(i-1)} = r^{(i-1)}$ 
   $\rho_{i-1} = r^{(i-1)} z^{(i-1)}$ 
  if i=1
     $p^{(1)} = z^{(0)}$ 
  else
     $\beta_{i-1} = \rho_{i-1} / \rho_{i-2}$ 
     $p^{(i)} = z^{(i-1)} + \beta_{i-1} p^{(i-1)}$ 
  endif
   $q^{(i)} = [A]p^{(i)}$ 
   $\alpha_i = \rho_{i-1} / p^{(i)} q^{(i)}$ 
   $x^{(i)} = x^{(i-1)} + \alpha_i p^{(i)}$ 
   $r^{(i)} = r^{(i-1)} - \alpha_i q^{(i)}$ 
  check convergence  $|r|$ 
end
```

# 「eps\_fvm」処理: ソルバー(2/7)

```
!C
!C +-----+
!C |  INIT.  |
!C +-----+
!C==
      if (.not.allocated(W)) then
        allocate (W(NP,4))
      endif

      X= 0.d0
      W= 0.d0

      R = 1
      Z = 2
      Q = 2
      P = 3
      DD= 4

      do i= 1, N
        W(i,DD)= 1.0D0 / D(i)
      enddo

      IER  = 0
      Tcomm= 0.d0
!C==
```

対角成分の逆数(前処理用)  
その都度, 除算をすると効率が  
悪いので, 予め配列に格納

```
Compute  $r^{(0)} = b - [A]x^{(0)}$ 
for i= 1, 2, ...
  solve  $[M]z^{(i-1)} = r^{(i-1)}$ 
   $\rho_{i-1} = r^{(i-1)} z^{(i-1)}$ 
  if i=1
     $p^{(1)} = z^{(0)}$ 
  else
     $\beta_{i-1} = \rho_{i-1} / \rho_{i-2}$ 
     $p^{(i)} = z^{(i-1)} + \beta_{i-1} p^{(i-1)}$ 
  endif
   $q^{(i)} = [A]p^{(i)}$ 
   $\alpha_i = \rho_{i-1} / p^{(i)} q^{(i)}$ 
   $x^{(i)} = x^{(i-1)} + \alpha_i p^{(i)}$ 
   $r^{(i)} = r^{(i-1)} - \alpha_i q^{(i)}$ 
  check convergence  $|r|$ 
end
```



# 「eps\_fvm」処理: ソルバー (3/7)

```
!C
!C +-----+
!C | {r0} = {b} - [A]{xini} |
!C +-----+
!C===
      do i= 1, N
        W(i,R) = D(i)*X(i)
        do j= index(i-1)+1, index(i)
          W(i,R) = W(i,R) + COEF(j) * X(item(j))
        enddo
      enddo

      BNRM2= 0.0D0
      do i= 1, N
        BNRM2= BNRM2 + B(i) **2
        W(i,R)= B(i) - W(i,R)
      enddo
!C===
```

Compute  $\mathbf{r}^{(0)} = \mathbf{b} - [\mathbf{A}]\mathbf{x}^{(0)}$

```
for i= 1, 2, ...
  solve [M]z(i-1) = r(i-1)
  ρi-1 = r(i-1) z(i-1)
  if i=1
    p(1) = z(0)
  else
    βi-1 = ρi-1 / ρi-2
    p(i) = z(i-1) + βi-1 p(i-1)
  endif
  q(i) = [A]p(i)
  αi = ρi-1 / p(i) q(i)
  x(i) = x(i-1) + αi p(i)
  r(i) = r(i-1) - αi q(i)
  check convergence |r|
end
```

# 「eps\_fvm」処理: ソルバー (3/7)

```
!C
!C +-----+
!C | {r0} = {b} - [A]{xini} |
!C +-----+
!C===
      do i= 1, N
        W(i,R) = D(i)*X(i)
        do j= index(i-1)+1, index(i)
          W(i,R) = W(i,R) + COEF(j) * X(item(j))
        enddo
      enddo

      BNRM2= 0.0D0
      do i= 1, N
        BNRM2= BNRM2 + B(i) **2
        W(i,R)= B(i) - W(i,R)
      enddo
!C===
```

**$\text{BNRM2} = |\mathbf{b}|^2$**   
 あとで収束判定に使用

**Compute  $\mathbf{r}^{(0)} = \mathbf{b} - [\mathbf{A}]\mathbf{x}^{(0)}$**

```
for i= 1, 2, ...
  solve [M]z(i-1) = r(i-1)
  ρi-1 = r(i-1) z(i-1)
  if i=1
    p(1) = z(0)
  else
    βi-1 = ρi-1 / ρi-2
    p(i) = z(i-1) + βi-1 p(i-1)
  endif
  q(i) = [A]p(i)
  αi = ρi-1 / p(i) q(i)
  x(i) = x(i-1) + αi p(i)
  r(i) = r(i-1) - αi q(i)
  check convergence |r|
end
```

# 「eps\_fvm」処理: ソルバー (4/7)

```

!C
!C***** ITERATION
      do L= 1, ITR
!C
!C +-----+
!C | {z}= [Minv]{r} |
!C +-----+
!C===
      do i= 1, N
        W(i,Z)= W(i,DD) * W(i,R)
      enddo
!C===

!C
!C +-----+
!C | RHO= {r}{z} |
!C +-----+
!C===
      RHO= 0.d0
      do i= 1, N
        RHO= RHO + W(i,R)*W(i,Z)
      enddo
!C===

```

```

Compute  $r^{(0)} = b - [A]x^{(0)}$ 
for i= 1, 2, ...
  solve  $[M]z^{(i-1)} = r^{(i-1)}$ 
   $\rho_{i-1} = r^{(i-1)} z^{(i-1)}$ 
  if i=1
     $p^{(1)} = z^{(0)}$ 
  else
     $\beta_{i-1} = \rho_{i-1} / \rho_{i-2}$ 
     $p^{(i)} = z^{(i-1)} + \beta_{i-1} p^{(i-1)}$ 
  endif
   $q^{(i)} = [A]p^{(i)}$ 
   $\alpha_i = \rho_{i-1} / p^{(i)} q^{(i)}$ 
   $x^{(i)} = x^{(i-1)} + \alpha_i p^{(i)}$ 
   $r^{(i)} = r^{(i-1)} - \alpha_i q^{(i)}$ 
  check convergence |r|
end

```

# 「eps\_fvm」処理: ソルバー (5/7)

```

!C
!C +-----+
!C | {p} = {z} if      ITER=1 |
!C | BETA= RHO / RHO1 otherwise |
!C +-----+
!C===
      if ( L.eq.1 ) then
        do i= 1, N
          W(i,P)= W(i,Z)
        enddo
      else
        BETA= RHO / RHO1
        do i= 1, N
          W(i,P)= W(i,Z) + BETA*W(i,P)
        enddo
      endif
!C===

!C
!C +-----+
!C | {q}= [A]{p} |
!C +-----+
!C===
      do i= 1, N
        W(i,Q) = D(i) * W(i,P)
        do j= index(i-1)+1, index(i)
          W(i,Q) = W(i,Q) + COEF(j) * W(item(j),P)
        enddo
      enddo
!C===

```

```

Compute  $r^{(0)} = b - [A]x^{(0)}$ 
for i= 1, 2, ...
  solve  $[M]z^{(i-1)} = r^{(i-1)}$ 
   $\rho_{i-1} = r^{(i-1)} z^{(i-1)}$ 
  if i=1
    p(1) = z(0)
  else
     $\beta_{i-1} = \rho_{i-1} / \rho_{i-2}$ 
    p(i) = z(i-1) +  $\beta_{i-1}$  p(i-1)
  endif
  q(i) = [A]p(i)
   $\alpha_i = \rho_{i-1} / p^{(i)} q^{(i)}$ 
  x(i) = x(i-1) +  $\alpha_i p^{(i)}$ 
  r(i) = r(i-1) -  $\alpha_i q^{(i)}$ 
  check convergence |r|
end

```

# 「eps\_fvm」処理: ソルバー (6/7)

```
!C
!C +-----+
!C | ALPHA= RHO / {p}{q} |
!C +-----+
!C===
      C1= 0.d0
      do i= 1, N
        C1= C1 + W(i,P)*W(i,Q)
      enddo
      ALPHA= RHO / C1
!C===

!C +-----+
!C | {x}= {x} + ALPHA*{p} |
!C | {r}= {r} - ALPHA*{q} |
!C +-----+
!C===
      do i= 1, N
        X(i) = X(i) + ALPHA * W(i,P)
        W(i,R)= W(i,R) - ALPHA * W(i,Q)
      enddo
```

```
Compute  $r^{(0)} = b - [A]x^{(0)}$ 
for i= 1, 2, ...
  solve  $[M]z^{(i-1)} = r^{(i-1)}$ 
   $\rho_{i-1} = r^{(i-1)} z^{(i-1)}$ 
  if i=1
     $p^{(1)} = z^{(0)}$ 
  else
     $\beta_{i-1} = \rho_{i-1} / \rho_{i-2}$ 
     $p^{(i)} = z^{(i-1)} + \beta_{i-1} p^{(i-1)}$ 
  endif
   $q^{(i)} = [A]p^{(i)}$ 
   $\alpha_i = \rho_{i-1} / p^{(i)} q^{(i)}$ 
   $x^{(i)} = x^{(i-1)} + \alpha_i p^{(i)}$ 
   $r^{(i)} = r^{(i-1)} - \alpha_i q^{(i)}$ 
  check convergence |r|
end
```

# 「eps\_fvm」処理: ソルバー (7/7)

```

DNRM2 = 0.0
do i= 1, N
  DNRM2= DNRM2 + W(i,R)**2
enddo

RESID= dsqrt(DNRM2/BNRM2)

1000  if (my_rank.eq.0) write (*, 1000) L, RESID
      format (i5, 1p16.6)

      if ( RESID.le.EPS) goto 900
      RHO1 = RHO

enddo
IER = 1

900 continue

ITR= L
EPS= RESID

return

end subroutine hpcmw_eps_fvm_solver_CG

```

```

r= b-[A]x
DNRM2=|r|2
BNRM2=|b|2

RESID= |r|/|b|

```

```

Compute  $r^{(0)} = b - [A]x^{(0)}$ 
for i= 1, 2, ...
  solve  $[M]z^{(i-1)} = r^{(i-1)}$ 
   $\rho_{i-1} = r^{(i-1)} z^{(i-1)}$ 
  if i=1
     $p^{(1)} = z^{(0)}$ 
  else
     $\beta_{i-1} = \rho_{i-1} / \rho_{i-2}$ 
     $p^{(i)} = z^{(i-1)} + \beta_{i-1} p^{(i-1)}$ 
  endif
   $q^{(i)} = [A]p^{(i)}$ 
   $\alpha_i = \rho_{i-1} / p^{(i)} q^{(i)}$ 
   $x^{(i)} = x^{(i-1)} + \alpha_i p^{(i)}$ 
   $r^{(i)} = r^{(i-1)} - \alpha_i q^{(i)}$ 

  check convergence |r|

end

```

# いろいろなメッシュでやってみよう

- MicroAVSの使い方に慣れる。